

ФЕДЕРАЛЬНОЕ ГОСУДАРСТВЕННОЕ БЮДЖЕТНОЕ ОБРАЗОВАТЕЛЬНОЕ
УЧРЕЖДЕНИЕ ВЫСШЕГО ОБРАЗОВАНИЯ
«МОСКОВСКИЙ ГОСУДАРСТВЕННЫЙ УНИВЕРСИТЕТ
имени М.В. ЛОМОНОСОВА»

МЕХАНИКО-МАТЕМАТИЧЕСКИЙ ФАКУЛЬТЕТ

КАФЕДРА ДИФФЕРЕНЦИАЛЬНОЙ ГЕОМЕТРИИ И ПРИЛОЖЕНИЙ

ВЫПУСКНАЯ КВАЛИФИКАЦИОННАЯ РАБОТА
(ДИПЛОМНАЯ РАБОТА)
специалиста

**ОСОБЕННОСТИ СЛОЕНИЙ ЛИУВИЛЛЯ ДЛЯ БИЛЛИАРДОВ В
НЕВЫПУКЛЫХ ОБЛАСТЯХ**

Выполнил студент
607 академической группы
Москвин Виктор Александрович

подпись студента

Научные руководители:
Академик Анатолий Тимофеевич Фоменко

подпись научного руководителя

Ассистент Ведюшкина Виктория Викторовна

подпись научного руководителя

Москва
2020

Содержание

1	Введение.	3
1.1	Определение бильярда.	4
2	Бильярдная область. Однородные бильярды.	5
2.1	Выбор бильярдной области.	5
2.2	Интегрируемость.	5
2.3	Пополнение изоэнергетической поверхности Q^3 особыми точками	5
2.4	Элементарные бильярды.	6
2.5	Однородные бильярды.	8
3	Известные результаты теории бильярдов.	8
3.1	Описание топологии слоений Лиувилля для элементарных бильярдов.	8
3.2	Описание регулярных слоев невыпуклых бильярдов.	9
4	Разбиение однородного бильярда на элементарные.	10
4.1	Разбиение однородного бильярда	10
4.2	Области возможного движения	11
4.3	Разбиение областей возможного движения	11
4.4	Отношение эквивалентности на невыпуклых бильярдах.	13
5	Определение 3-атома для однородных невыпуклых бильярдов.	13
6	Окрестности особых слоев $\Lambda = \lambda_i$. Описание топологии атомов U_{λ_i}.	17
6.1	Определение разрезающих комплексов T_i	18
6.2	Описание комплекса $U_{\lambda_i} \setminus \tilde{U}_{\lambda_i}$	18
6.3	Описание не седловых бифуркационных слоев.	19
7	Особый слой $\Lambda = b$. Описание топологии атомов U.	24
7.1	Определение 2-атомов.	25
7.2	Теорема сохранения рода.	25
7.3	Основная теорема.	26
8	Заключение.	31
9	Список литературы.	31

1 Введение.

Математический бильярд — динамическая система, описывающая движение без трения материальной точки внутри области с абсолютно упругим отражением от границы (угол падения равен углу отражения). В книге С.Л. Табачникова [1] дан обзор современных исследований бильярдных систем. В настоящей работе исследуются плоские бильярды, ограниченные дугами софокусных квадров, причем допускается, что области могут быть невыпуклыми, т.е. границы бильярдных систем могут содержать вершины углов $3\pi/2$. Интегрируемость таких бильярдных систем была замечена В.В. Козловым и Д.В. Трещевым в [3]: первый интеграл — это полная энергия, сохраняющаяся в силу отсутствия трения, а дополнительный интеграл — это параметр каустики. Каустика — это софокусная квадровка семейства, обладающая тем свойством, что если траектория касается каустики в одной точке, то она обязана касаться той же каустики после отражения от границы бильярда.

Цель данной работы — исследовать топологию изоэнергетической поверхности бильярда Q^3 , некомпактного 3-многообразия пар вида (x, v) , где x — координата точки на плоскости, а v — единичный вектор скорости точки. Изоэнергетическое многообразие расслоено на совместные поверхности уровни интегралов системы, где почти все уровни являются регулярными, а конечное число уровней является критическими. Теорема Лиувилля [1] для бильярдных систем, ограниченных дугами софокусных квадров без невыпуклых углов на границе, гарантировала, что регулярные совместные поверхности уровня интегралов — это двумерные торы, а В.В. Ведюшкиной [4 — 7] были также исследованы и критические уровни слоения Лиувилля, которые описывались с помощью атомов А.Т. Фоменко [2]. Однако, в силу того, что в вершинах невыпуклых углов невозможно корректно определить бильярдное отражение, сохранив непрерывность системы, потоки в таких бильярдах уже не будут полны, а это приведет к невыполнимости условий теоремы Лиувилля, так как невозможно корректно определить отражение в вершине $3\pi/2$, сохранив непрерывность системы. В. Драгович и М. Раднович [8-12] представили описание всех регулярных совместных поверхностей уровня интегралов для невыпуклых бильярдных систем: для всех значений интеграла в таких бильярдах связная компонента совместной поверхности уровня будет сферой с ручками и проколами.

Теперь, для дальнейшего исследования топологии изоэнергетической поверхности Q^3 нужно описать все критические интегральные поверхности, а также, описать их окрестности, т.е. описать как именно критические поверхности уровня (не являющиеся сферами с ручками и проколами) приклеиваются к регулярным. Ранее автором было представлено полное описание топологии слоения Лиувилля в невыпуклых бильярдах с единственным углом $3\pi/2$ (см. [18]), а в работе [19] также автором был представлен алгоритм построения двумерных особых слоев. В настоящей работе исследована топология фазового многообразия в окрестностях критических значений интеграла, а именно, дано описание трехмерных окрестностей двумерных комплексов, являющихся прообразами критических значений дополнительного интеграла. Дальнейшее исследование результатов теории математических бильярдных систем и теории интегрируемых систем см. в [7—18].

Первый тип критических уровней традиционно возникает в бильярдных системах и при переходе через этот уровень меняется тип бильярдной каустики — эллиптический на гиперболический. Второй тип критических уровней является уникальным для невыпуклых бильярдных систем и возникает, когда каустика проходит через вершины углов $3\pi/2$. Можно заметить, что при переходе через любой из бифуркационных уровней меняется топология совместных поверхностей уровня интегралов: меняется количество и род поверхностей, лежащих в прообразах регулярных значений интеграла. В главе 5 описана топология окрестностей бифуркационных слоев в окрестности не седлового уровня, а в главе 7 — седлового.

Автор приносит благодарность А.Т. Фоменко за постановку задачи и внимание к работе, В.В. Ведюшкиной — за многочисленные ценные обсуждения.

1.1 Определение бильярда.

Рассмотрим динамическую систему, описывающую движение (материальной) точки внутри области Ω с естественным отражением на границе $P = \partial\Omega$. Эту систему назовём бильярдом в области. Траектории, попавшие в прямые углы, мы доопределим, как обычно, по непрерывности (попадая в вершину прямого угла, точка отражается по той же траектории). Легко видеть, что поступить так же с траекториями, попавшими в вершину угла $3\pi/2$, сохраняя при этом непрерывность системы (свойство, что близкие траектории после отражения остаются близкими), невозможно: так как предел траекторий справа и предел траекторий слева не совпадает (см. рис. 1). Далее будем считать, что если траектория попала в вершину угла $3\pi/2$, то она заканчивается в этой вершине. Обозначим вершины углов $\pi/2$ через x_t , а углов $3\pi/2$ через x_k . Следовательно, некомпактным фазовым пространством данного бильярда является многообразие

$$M^4 := \{(x, v) | x \in \Omega, x \neq x_k \forall k, v \in T_x^2\mathbb{R}, |v| > 0 / \sim\},$$

где отношение эквивалентности задается так:

$$(x_1, v_1) \sim (x_2, v_2) \Leftrightarrow x_1 = x_2 \in P, |v_1| = |v_2|, v_1 - v_2 \perp T_{x_1}P$$

$$(x_t, v_i) \sim (x_t, v) \Leftrightarrow |v| = |v_i|, v + v_i = 0.$$

Здесь через T_xP обозначена касательная прямая к границе области Ω в точке x , а через $|v|$ евклидова длина вектора v . Это отношение эквивалентности иногда будем называть бильярдным законом.

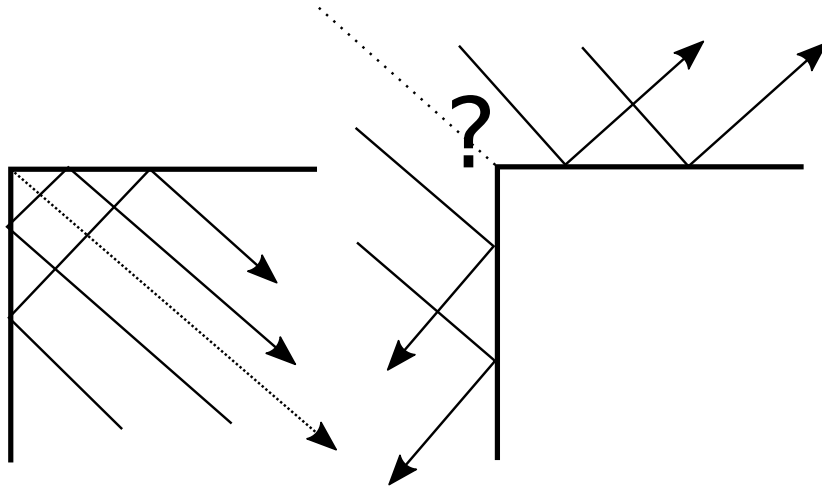


Рис. 1: Отражение точки от вершины прямого угла (слева) и иллюстрация невозможности корректного продолжения траектории при отражении от вершины тупого угла (справа)

ОПРЕДЕЛЕНИЕ 1. Сложностью бильярда назовем число k — число углов излома граничной кривой, равных $\frac{3\pi}{2}$.

ОПРЕДЕЛЕНИЕ 2. Кусочно-гладкое (некомпактное) 3-многообразие

$$\tilde{Q}^3 = \{x \in M^4 : |v(x)| = const\}$$

с краем назовем «настоящей» изоэнергетической 3-поверхностью данного бильярда (см. главу 2.3).

Замечание 1. *Каждой точке бильярдной области Ω соответствует окружность векторов скорости, за исключением вершин углов $\pi/2$ или $3\pi/2$. Подробное доказательство этого факта можно найти в [3].*

2 Бильярдная область. Однородные бильярды.

2.1 Выбор бильярдной области.

Мы будем понимать под бильярдной областью Ω односвязную область плоскости, ограниченную дугами софокусных квадрик из семейства:

$$(b - \lambda)x^2 + (a - \lambda)y^2 = (a - \lambda)(b - \lambda), \quad \lambda \leq a.$$

Здесь $\infty > a > b > 0$ — фиксированная пара чисел (определяющая семейство софокусных квадрик), λ — параметр семейства (определяющий квадрику семейства). При $\lambda \in (0, a)$, где $\lambda \neq b$, — это эллипсы или гиперболы. При $\lambda = b$ — это объединение вырожденной гиперболы (образованной двумя горизонтальными лучами из фокусов) и вырожденного эллипса (отрезка между фокусами). Вертикальную прямую, соответствующую параметру $\lambda = a$, мы будем называть гиперболой (а не вырожденной гиперболой), хоть по сути это вертикальный отрезок, но это не будет влиять на дальнейшие рассуждения. Также потребуем, чтобы бильярд Ω не содержал фокусов вне области или на ее границе. В дальнейшем под термином бильярд Ω будет пониматься и динамическая система, и область одновременно.

2.2 Интегрируемость.

Первым интегралом гамильтоновой системы называется постоянная вдоль траекторий функция. Мы ограничимся рассмотрением плоских бильярдов, ограниченных дугами софокусных квадрик, и интегрируемость таких бильярдов была замечена В.В. Козловым и Д.В. Трещевым [3]. Первый интеграл — полная энергия, которая сохраняется в силу отсутствия трения в системе. Дополнительный интеграл — это параметр каустики. Каустика — это софокусная квадрика семейства, обладающая тем свойством, что если траектория касается каустики в одной точке, то она обязана касаться той же каустики после отражения от границы бильярда. Представим их формульную запись:

$$H = \frac{1}{2}(\dot{x}^2 + \dot{y}^2)$$

(полная энергия)

$$\Lambda = \frac{\dot{x}^2}{a} + \frac{\dot{y}^2}{b} - \frac{(\dot{x}y - x\dot{y})^2}{ab}$$

(параметр каустики)

Здесь a и b — параметры семейства софокусных квадрик (см. 2.1).

2.3 Пополнение изоэнергетической поверхности Q^3 особыми точками

Несмотря на невозможность определения корректного отражения в вершине угла $3\pi/2$, удобно рассматривать точки вида $(x_k, v) \in Q^3$, как настоящие, а не выколотые точки многообразия. Расслоим \tilde{Q}^3 на линии уровня функции $\Lambda = \alpha$ и пополним изоэнергетическую

поверхность \tilde{Q}^3 следующим образом: на каждый уровень $\Lambda = \alpha$, где в вершину x_k угла $3\pi/2$ попадает хотя бы одна траектория, добавим одну точку (x_k, v_0) , где $\Lambda(x_k, v_0) = \alpha$. Обозначим получившуюся поверхность через Q^3 и в дальнейшем будем изучать именно ее.

ОПРЕДЕЛЕНИЕ 3. Назовем естественной проекций π многообразия Q^3 на бильярдную область Ω гладкое отображение, действующее по правилу $(x, v) \rightarrow x$.

ОПРЕДЕЛЕНИЕ 4. Назовем особыми точками области (бильярда) вершины углов $3\pi/2$, а особыми точками многообразия Q^3 — прообразы при естественной проекции π особых точек области.

Замечание 2. Вершины угла $\pi/2$ не будут считаться особыми точками бильярда, так как в них задано корректно определённое по непрерывности отражение (см. рис 1, см. пункт 1.1).

Рассмотрим интегрируемый бильярд Ω с дополнительным интегралом Λ . Часто будет рассматриваться полный прообраз множества точек $A \subset \Omega$ при естественной проекции π и при фиксированных значениях интеграла $\Lambda(x, y, v_1, v_2) \in [c, d]$. Это множество задается как

$$\pi^{-1}(A)|_{\Lambda \in [c, d]} = \{(x, v) \in Q^3 : x \in A, \Lambda(x, v) \in [c, d]\}.$$

2.4 Элементарные бильярды.

Начнем с определения элементарного бильярда — бильярда без особых точек, топология слоения Лиувилля для таких бильярдов была изучена В.В. Ведюшкиной в работе [4].

ОПРЕДЕЛЕНИЕ 5. Рассмотрим компактный плоский (часть плоскости) односвязный бильярд без особых точек (вершин угла $3\pi/2$), ограниченный дугами софокусных квадрик. Такой бильярд будем называть элементарным бильярдом.

Приведем отношение эквивалентности на множестве элементарных бильярдов, данное в работах В.В. Ведюшкиной.

ОПРЕДЕЛЕНИЕ 6. Элементарный бильярд Σ , ограниченный дугами квадрик из софокусного семейства, называется эквивалентным другому элементарному бильярду Σ' , ограниченному дугами квадрик из того же семейства, если Σ можно получить из Σ' путем композиции перечисленных ниже преобразований.

1. Последовательное изменение сегментов границы путем непрерывной деформации в классе квадрик. Потребуем, чтобы во все время деформации сегмент границы лежал либо на софокусном эллипсе (т.е. их параметр квадрики, на которой он лежит, меняется в пределах $(-\infty, b)$), либо на софокусной гиперболе (т.е. параметры квадрики, на которой он лежит, меняется в пределах $(b, a]$), либо является отрезком фокальной прямой (т.е. параметр софокусной квадрики, на которой он лежит, равен b во все время деформации);
2. Симметрия относительно оси семейства;
3. Объединение нескольких простейших элементарных бильярдов в один или же путем разбиения одного бильярда на более мелкие (объединение и разбиение как подмножеств \mathbb{R}^2).

Также В.В. Ведюшкиной элементарные бильярды были классифицированы с точностью до указанного выше отношения эквивалентности.

Утверждение 1 (В.В. Ведюшкина [4]). *Любой односвязный элементарный бильярд Σ эквивалентен бильярду, принадлежащему одному из следующих двух серий (все они представлены на рисунках):*

1. Односвязные элементарные бильярды содержащие отрезок фокальной прямой между фокусами (внутри бильярда или на границе). Существует ровно шесть типов. Представители всех классов этой серии изображены на рисунке 2. Для каждого класса укажем f — количество фокусов, принадлежащих области, f' — число фокусов принадлежащих границе бильярда. Такие бильярды будем обозначать A_f , если их граница не содержит отрезок фокальной прямой, и A'_f иначе.
2. Односвязные элементарные бильярды не содержащие отрезка фокальной прямой между фокусами. Каждый такой бильярд ограничивает четырёхугольник, состоящий из дуг двух эллипсов и двух гипербол (быть может совпадающих). Существует ровно шесть типов. Представители всех классов этой серии изображены на рисунке 3. Такие бильярды будем обозначать либо B_n , либо B'_n , либо B''_n в зависимости от того, ноль, один или два отрезка границы лежат на фокальной прямой, где n — это количество связных компонент фокальной прямой в бильярде. Будем называть их бильярдами типа B .

При этом области, принадлежащие к различным сериям (A или B) неэквивалентны между собой, а также неэквивалентны между собой внутри каждой серии области с различными индексами.

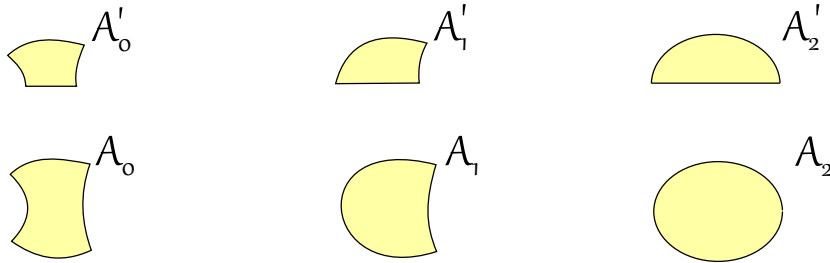


Рис. 2: Элементарные бильярды серии A .

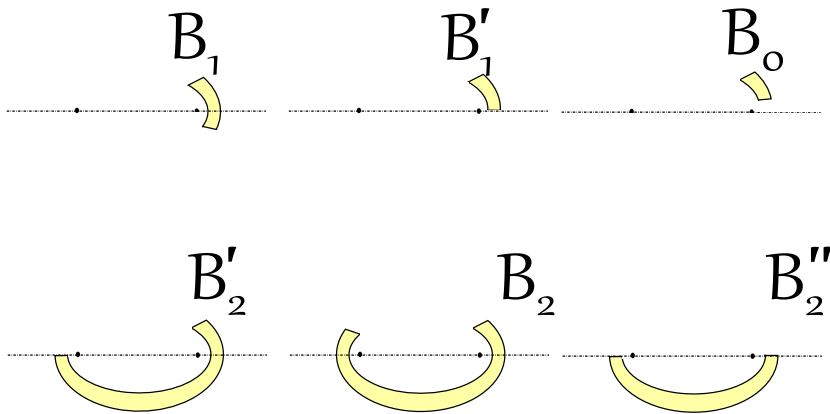


Рис. 3: Элементарные бильярды серии B .

2.5 Однородные билиарды.

Наличие внутри билиарда сегментов фокальной прямой одновременно вне и внутри фокусов значительно усложняет топологию бифуркационных уровней. Поэтому мы сузим класс рассматриваемых билиардов до однородных билиардов.

ОПРЕДЕЛЕНИЕ 7. Рассмотрим плоский (не обязательно элементарный) билиард Ω произвольной сложности k . Если билиард Ω не содержит участка фокальной прямой между фокусами (сегментов вырожденного эллипса), то назовем его однородно-эллиптическим. Если любой связный сегмент фокальной прямой, содержащийся в билиарде Ω , лежит между фокусами, то назовем его однородно-гиперболическим. В ином случае, будем называть его неоднородным. Билиард Ω , который не пересекает фокальную прямую, будем считать и однородно-гиперболическим, и однородно-эллиптическим (см. рис. 4).

Замечание 3. Однородно-эллиптическими элементарными билиардами являются все билиарды серии B , однородно-гиперболическими элементарными билиардами — билиарды A_0 , A'_0 и B_0 . Остальные элементарные билиарды неоднородны (элементарный билиард B_0 одновременно однородно-эллиптический и однородно-гиперболический, так как не пересекает фокальную прямую).

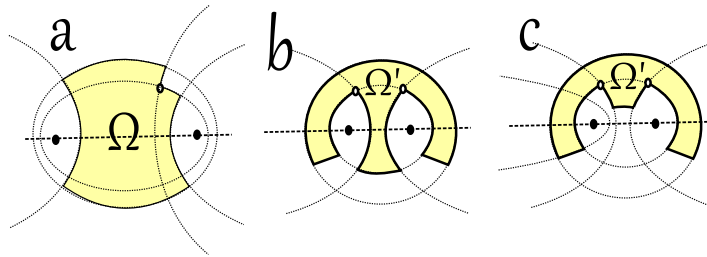


Рис. 4: а — пример однородно-гиперболического билиарда, б — пример неоднородного билиарда, с — пример однородно-эллиптического билиарда

3 Известные результаты теории билиардов.

3.1 Описание топологии слоений Лиувилля для элементарных билиардов.

Начнем с определения критических и регулярных значений дополнительного интеграла Λ .

Зафиксируем $H = const$ и ограничим наше многообразие M^4 на изоэнергетическую поверхность Q^3 . Тогда, в случае элементарных билиардов у слоения Лиувилля было три особых уровня: $\Lambda = 0$, $\Lambda = b$ и $\Lambda = a$. Топология Q^3 в элементарных билиардах менялась только при переходе дополнительного интеграла через эти значения. А в теории билиардов с невыпуклыми углами к ним также добавятся $2k$ новых особых значений дополнительного интеграла Λ при переходе через которые топология Q^3 изменится, где k — сложность билиарда (см. опр. 1), а именно, число углов излома граничной кривой билиарда, равных $3\pi/2$.

ОПРЕДЕЛЕНИЕ 8. Фиксируем билиард Ω . Граница области Ω образована сегментами эллипсов и гипербол семейства. Если эти сегменты границы не содержат особых точек, то обозначим через \min_i и \max_j значения параметра Λ , которым соответствуют эллиптические и гиперболические сегменты границы области Ω такого типа. Если область Ω

имеет непустое пересечение с прямой Oy , то дополним набор \max_j значением a . Значение параметра Λ сегментов границы, на которых лежат особые точки, обозначим через λ_i .

Назовем особыми следующие значения интеграла Λ :

1. (Локально) минимальные значения интеграла $\Lambda = \min_i$;
2. Седловое значение интеграла $\Lambda = b$;
3. (Локально) максимальные значения интеграла $\Lambda = \max_j$;
4. Значения $\Lambda = \lambda_i$, где $1 \leq i \leq 2k$ (так как каждая особая точка лежит либо на пересечении эллипса и гиперболы семейства, либо гиперболы и вырожденного эллипса).

В. В. Ведюшкиной [4] были построены инварианты Фоменко-Цишанга для элементарных бильярдов, приведем только часть ее результата — описание грубых молекул.

Теорема 1 (В.В. Ведюшкина). *Прообраз $b - \varepsilon \leq \Lambda \leq b + \varepsilon$ в изоэнергетической поверхности Q^3 элементарного бильярда Σ при достаточно малом значении ε гомеоморфен следующим трёхмерным многообразиям (перечисленные ниже атомы трёхмерные):*

1. атом B для областей A_2, A_0 ;
2. атом A^* для области A_1 ;
3. атом B_n для B_n, B'_{n+1} , где $n > 0$;
4. произведение тора на отрезок для областей $A'_2, A'_1, A'_0, B_0, B'_1, B''_2$;

3.2 Описание регулярных слоев невыпуклых бильярдов.

Предоставим описание регулярных слоёв интеграла для бильярдов с $k \neq 0$. Ранее описание регулярных слоёв бильярдов произвольной сложности возникало в работах В. Драгович и М. Раднович [4-6], эти работы базируются на анализе динамики интегральных траекторий.

Теорема 2 (В. Драгович, М. Раднович). *Для всех неособых значений интеграла поверхность уровня интеграла Λ в изоэнергетической поверхности Q^3 бильярда Ω гомеоморфна объединению поверхностей рода $(k' + 1)$, где k' — количество особых точек вне интегрального эллипса, если $\Lambda < b$, или внутри интегральной гиперболы, если $\Lambda > b$ (в «настоящей» изоэнергетической поверхности \tilde{Q}^3 на каждом уровне будет выколото k' точек).*

Любая регулярная поверхность уровня для произвольного бильярда Ω будет гомеоморфна сфере с некоторым количеством ручек и проколов (будем обозначать такую сферу через $G_2^{(k'+1)}$) и как видно из теоремы 2, род этой поверхности меняется при изменении k' — числа особых точек в области возможного движения. Таким образом, сформулируем ключевую идею изучения топологии слоения Лиувилля для невыпуклых бильярдов — на критических значениях интеграла ($\Lambda = b$ и $\Lambda = \lambda_i$) меняется k' и, как следствие теоремы 2, меняется топология совместных поверхностей уровней $\Lambda = \alpha$ (см. рис. 5, рис. 6).

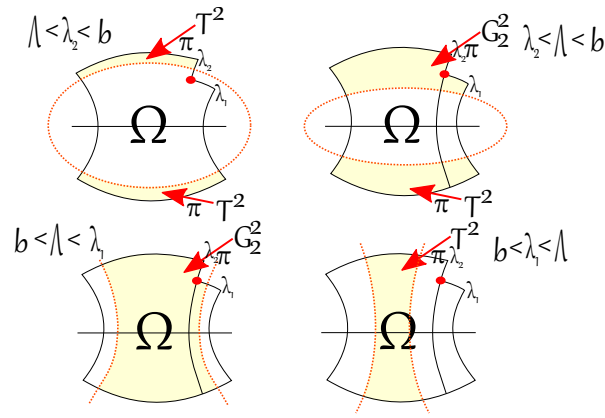


Рис. 5: Области возможного движения при различных регулярных значениях интеграла и их прообразы в Q^3 .

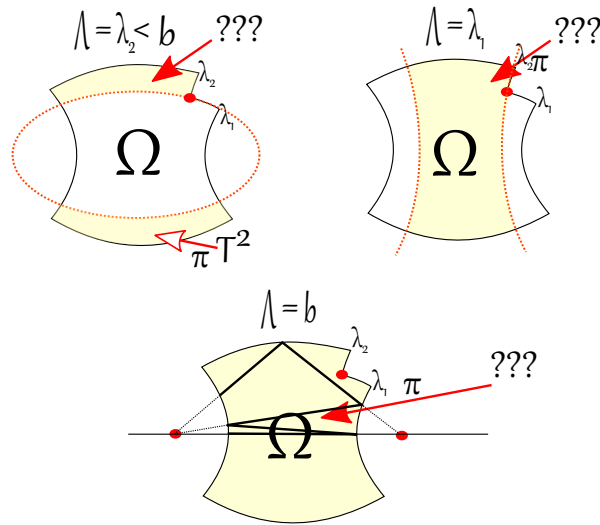


Рис. 6: Области возможного движения при критических значениях интеграла.

4 Разбиение однородного бильярда на элементарные.

4.1 Разбиение однородного бильярда

Главной идеей изучения топологии многообразия Q^3 будет разрезание этого многообразия на более мелкие и простые части. Для этого мы сначала разобьем бильярд Ω на элементарные бильярды $\Sigma_1, \dots, \Sigma_N$ специальным образом, а потом «поднимем» это разбиение на уровень многообразия Q^3 с помощью естественной проекции $\pi : Q^3 \rightarrow \Omega$, где $\pi(x, v) = x$. Так как топология окрестности особого слоя для элементарных бильярдов уже изучена, то мы сможем использовать это для построения топологии Q^3 .

Представим способ выбора разбиения на однородном бильярде: будем разрезать по одному типу квадратик, которые проходят через особые точки.

ОПРЕДЕЛЕНИЕ 9. Рассмотрим однородно-гиперболический бильярд Ω произвольной сложности k . Будем выбирать на нем разбиение $\Sigma_1, \dots, \Sigma_N$ следующим образом: проведем все, в том числе и вырожденную, гиперболы на которых лежат особые точки (вершины углов $3\pi/2$).

В результате бильярд Ω разобьётся на не более чем $2k$ элементарных бильярдов Σ

(несколько особых точек могут лежать на одной гиперболе (эллипсе).

Назовем такое разбиение однородного бильярда разбиением $\Sigma_1, \dots, \Sigma_N$, числом N будем обозначать количество элементов в нем, а через n обозначим количество гипербол λ_i по которым совершались разрезы.

ОПРЕДЕЛЕНИЕ 10. Рассмотрим однородно-эллиптический бильярд Ω произвольной сложности k . Будем выбирать на нем разбиение $\Sigma_1, \dots, \Sigma_N$ следующим образом: проведем все, в том числе и вырожденный, эллипсы на которых лежат особые точки (вершины углов $3\pi/2$).

В результате бильярд Ω разобьётся на не более чем $2k$ элементарных бильярдов Σ (несколько особых точек может лежать на одном эллипсе).

Назовем такое разбиение однородного бильярда разбиением $\Sigma_1, \dots, \Sigma_N$, числом N будем обозначать количество элементов в нем, а через n обозначим количество эллипсов λ_i по которым совершались разрезы.

В обоих определениях $N > n$, так как разрез по каждой квадрике добавляет хотя бы один новый элементарный бильярд Σ_j в разбиение.

4.2 Области возможного движения

Выше мы выбрали разбиение всего бильярда Ω на элементарные бильярды. Однако, бильярдное движение не обязательно происходит внутри целого бильярда, т.е. при некоторых значениях дополнительного интеграла $L = \alpha$ некоторые точки $x \in \Omega$ могут не оснащаться ни одним вектором скорости. Подробнее, фиксируем значение дополнительного интеграла $L = \alpha$ и рассмотрим такие точки $x \in \Omega$ бильярда Ω , в которых существует такой вектор скорости v , чтобы пара (x, v) лежала в Q^3 и $L(x, v) = \alpha$. В силу теоремы Якоби-Шаля [1] в бильярдах существует три типа областей возможного движения в зависимости от α :

1. Если $\alpha < b$, то область возможного движения заполняет бильярд Ω вне эллипса семейства с параметром $\lambda = \alpha$;
2. Если $\alpha = b$, то область возможного движения заполняет весь бильярд Ω ;
3. Если $\alpha > b$, то область возможного движения заполняет бильярд Ω внутри гиперболы семейства с параметром $\lambda = \alpha$.

4.3 Разбиение областей возможного движения

Теперь разобьем не только целый однородный бильярд Ω на элементарные бильярды, но и все возможные области возможного движения, возникающие в бильярде Ω при фиксировании значений дополнительного интеграла $L = \alpha$. Очевидно, что в таком случае разрезы будут проводиться по некоторому подмножеству квадрик $\lambda_{i_1}, \dots, \lambda_{i_n} \subseteq \lambda_1, \dots, \lambda_n$, так как некоторые квадрики $\lambda_1, \dots, \lambda_n$ могут оказаться вне области возможного движения. Таким образом, зафиксировав разбиение однородного бильярда Ω на элементарные бильярды $\Sigma_1, \dots, \Sigma_N$, мы фиксируем также и разбиение всех возможных областей движения на элементарные бильярды $\Sigma'_1, \dots, \Sigma'_{N'}$, где каждый элементарный бильярд $\Sigma'_1, \dots, \Sigma'_{N'}$ эквивалентен некоторому бильярду из множества $\Sigma_1, \dots, \Sigma_N$ (см. рис. 7).

Теперь уточним определение граничной дуги гиперболы λ_i . Сначала дадим определение для однородно-гиперболического бильярда, потом — для однородно-эллиптического.

ОПРЕДЕЛЕНИЕ 11. Рассмотрим однородно-гиперболический бильярд Ω с выбранным на нем разбиением $\Sigma_1, \dots, \Sigma_N$. Назовем граничной дугой гиперболы λ_i объединение всех

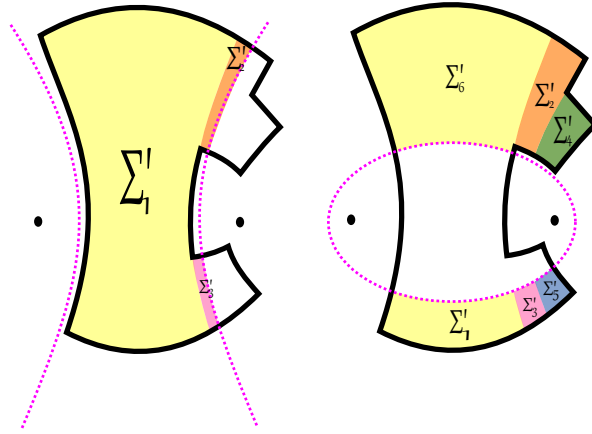


Рис. 7: Фиолетовым изображена каустика, белые участки биллиарда не входят в область возможного движения. Изображен пример разбиения области возможного движения при эллиптических значениях интеграла (справа) и при гиперболических значениях интеграла (слева).

сегментов границ элементарных биллиардов Σ_j лежащих на гиперболе с параметром λ_i (см. рис. 8)

ОПРЕДЕЛЕНИЕ 12. Рассмотрим однородно-эллиптический биллиард Ω с выбранным на нем разбиением $\Sigma_1, \dots, \Sigma_N$. Назовем граничной дугой эллипса λ_i объединение всех сегментов границ элементарных биллиардов Σ_j лежащих на эллипсе с параметром λ_i .

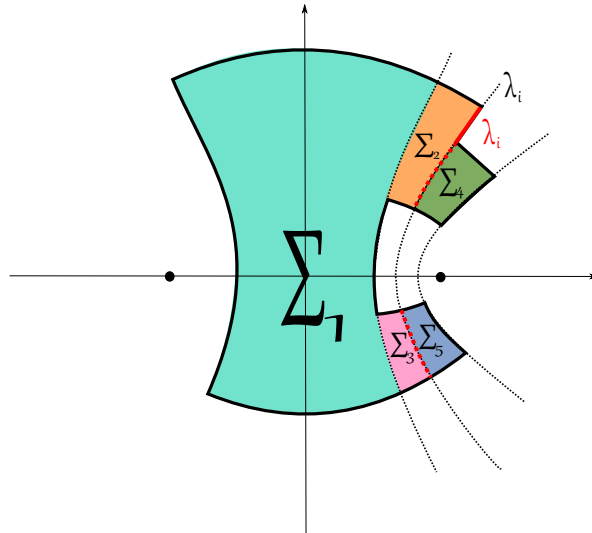


Рис. 8: Пример однородно-гиперболического биллиарда Ω с выбранным на нем разбиением. Черным пунктиром обозначена гипербола с параметром λ_i , а красным — дуга граничной гиперболы λ_i .

Отметим, что дуги граничной кватрики определённые подобным образом действительно могут быть несвязными, так как некоторые границы между элементарными биллиардами разбиения — внутренние. Однако, для будущего анализа нам проще рассматривать границы между элементарными биллиардами разбиения как настоящие границы, на некоторых сегментах которых отменен биллиардный закон. В дальнейшем под λ_i будут подразумеваться граничные дуги гиперболы с параметром, также обозначаемым λ_i .

4.4 Отношение эквивалентности на невыпуклых билиардах.

Зададим отношение эквивалентности на множестве однородных билиардов. Теперь рассмотрим два однородных билиардов Ω и Ω' с выбранными на них разбиениями на элементарные билиарды $\Sigma_1, \dots, \Sigma_N$ и $\Sigma'_1, \dots, \Sigma'_N$ соответственно.

ОПРЕДЕЛЕНИЕ 13. Однородный билиард Ω , ограниченный дугами квадратик из софокусного семейства, называется эквивалентным другому однородному билиарду Ω' , ограниченному дугами квадратик из того же семейства, если:

1. между множествами элементарных билиардов $\Sigma_1, \dots, \Sigma_N$ и $\Sigma'_1, \dots, \Sigma'_N$ существует биекция E , причем $E(\Sigma_j) \sim \Sigma'_j$ в смысле предыдущего определения;
2. если элементарные билиарды Σ_j и Σ_i пересекались по сегменту граничной дуги $\lambda_{i,t}$ и на дуге $\lambda_{i,t}$ лежало t особых точек, то элементарные билиарды $E(\Sigma_j)$ и $E(\Sigma_i)$ вновь пересекутся по дуге граничной гиперболы с таким же количеством особых точек t на ней (см. рис. 9).

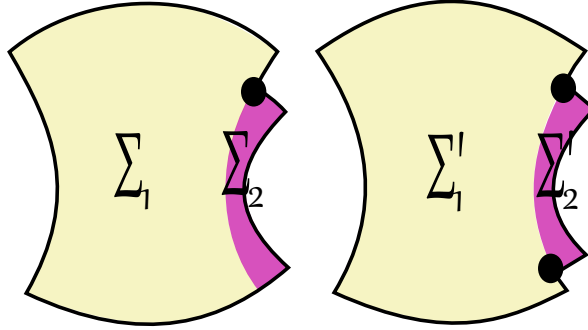


Рис. 9: Пример двух неэквивалентных в смысле определения 13 билиардов. Нарушается условие 2: $\Sigma_1 \sim \Sigma'_1$ и $\Sigma_2 \sim \Sigma'_2$ как элементарные билиарды, однако, условие два, очевидно, не выполняется. Отметим, что в силу Теоремы 2 слоение Лиувилля у правого и левого билиарда будут отличаться.

В дальнейшем все билиарды предполагаются однородными, рассматриваемыми с точностью до эквивалентности в смысле определения 7.

5 Определение 3-атома для однородных невыпуклых билиардов.

Для исследования билиардов с невыпуклыми углами на границе области следует расширить определение атома, так как на совместных поверхностях уровня интеграла могут лежать выколотые точки, а, как следствие, окрестности поверхностей уровня интегралов удобнее рассматривать как клеточные комплексы. Дадим определение для атома на критическом, не минимаксном, уровне c ($c = b$ или $c = \lambda_i$ для некоторого i).

ОПРЕДЕЛЕНИЕ 14. Трехмерным атомом (3-атомом) назовем трехмерную окрестность $U \subset Q^3$ двумерного особого слоя G , задаваемую неравенством

$$c - \varepsilon \leq \Lambda \leq c + \varepsilon$$

для достаточно малого ε , расслоенную на двумерные поверхности уровня функции Λ и рассматриваемую с точностью до послыонной эквивалентности. Трехмерный атом для окрестности особого уровня $\Lambda = b$ обозначим через U , для $\lambda = \lambda_i$ — через U_{λ_i} .

Также обозначим через $U_{(\lambda_i)}$ окрестность произвольного особого слоя. Рассмотрим однородный билиард Ω с выбранным на нем разбиением $\Sigma_1, \dots, \Sigma_N$ с граничными гиперболами (эллипсами) $\lambda_1, \dots, \lambda_n$. Также обозначим через Ω_c^+ — область возможного движения при фиксированном дополнительном интеграле $\Lambda = c + \varepsilon$, через Ω_c^- — при фиксированном дополнительном интеграле $\Lambda = c - \varepsilon$, а через Ω_c — область возможного движения при фиксированном дополнительном интеграле $\Lambda = c$. Заметим, что в силу определения билиардной каустики (см. 2.2), граница областей возможного движения на всех уровнях интеграла, кроме уровня $\Lambda = b$, содержит сегменты каустики.

1. Выберем 0-клетки. Рассмотрим билиард Ω и области возможного движения Ω_c^- , Ω_c , Ω_c^+ , зафиксировав дополнительный интеграл Λ равным $c - \varepsilon$, c или $c + \varepsilon$ соответственно. На всех трех областях возможного движения проведем: все граничные квадрики $\lambda_1, \dots, \lambda_n$ из разбиения $\Sigma_1, \dots, \Sigma_N$, а в случае $c = b$ дополнительно проведем фокальную прямую. Рассмотрим пересечения проведенных квадриков с границами областей возможного движения Ω_c^- , Ω_c , Ω_c^+ . Обозначим данное множество точек через P . 0-клетками трехмерных комплексов $U_{(\lambda_i)}$ будут прообразы при естественной проекции π выбранных вершин пересечений при заданных значениях дополнительного интеграла Λ (см. пример на рис. 10).

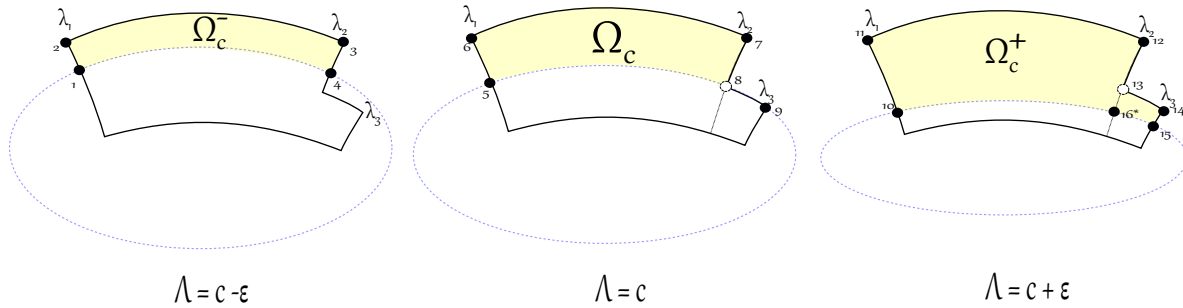


Рис. 10: Пример 0-клеток комплекса U_{λ_2} для билиарда, изображённого на рисунке с зафиксированными значениями дополнительного интеграла $\Lambda = \lambda_2 - \varepsilon$ (слева), $\Lambda = \lambda_2$ (в центре) и $\Lambda = \lambda_2 + \varepsilon$ (справа). Области возможного движения обозначены желтым. Всего в комплексе U_{λ_2} 17 0-клеток, а множество P состоит 16 элементов. Если номер точки из P помечен звездочкой, то в данную точку проецируются естественной проекцией π две 0-клетки из U_{λ_2} , иначе — одна. Белым отмечены особые точки билиарда Ω .

2. 1-клетки комплекса $U_{(\lambda_i)}$ будут двух разных типов, то есть $U_{(\lambda_i)}^1 = U_{(\lambda_i)}^{1,1} \cup U_{(\lambda_i)}^{1,2}$. Первый тип 1-клеток комплекса $U_{(\lambda_i)}$ — это связные в $U_{(\lambda_i)}$ прообразы при естественной проекции π точек из множества P при всех значениях дополнительного интеграла Λ из множества $(c - \varepsilon, c) \cap (c, c + \varepsilon)$. Связные прообразы при естественной проекции π — это в точности такие пары $(x, v) \in U_{(\lambda_i)}$, где векторы скорости v направлены в одном направлении (от правого фокуса, от левого фокуса, к правому фокусу или к левому фокусу) на каждом уровне интеграла Λ . Построим теперь второй тип 1-клеток, рассмотрим все ограниченные точками из P связные сегменты границ областей возможного движения Ω_c^+ , Ω_c и Ω_c^- (эллиптические и гиперболические) и сегменты квадриков $\lambda_1, \dots, \lambda_n$, обозначим множество таких сегментов через Q . Также, в случае седлового атома $\Lambda = b$, добавим в Q , если таковой имеется, сегмент фокальной прямой между точками из P . Второй тип 1-клеток — это все связные прообразы сегментов квадриков из Q при естественной проекции π , при фиксированных значениях интеграла $\Lambda = c - \varepsilon$, $\Lambda = c$ и $\Lambda = c + \varepsilon$ (см. пример на рис. 11).

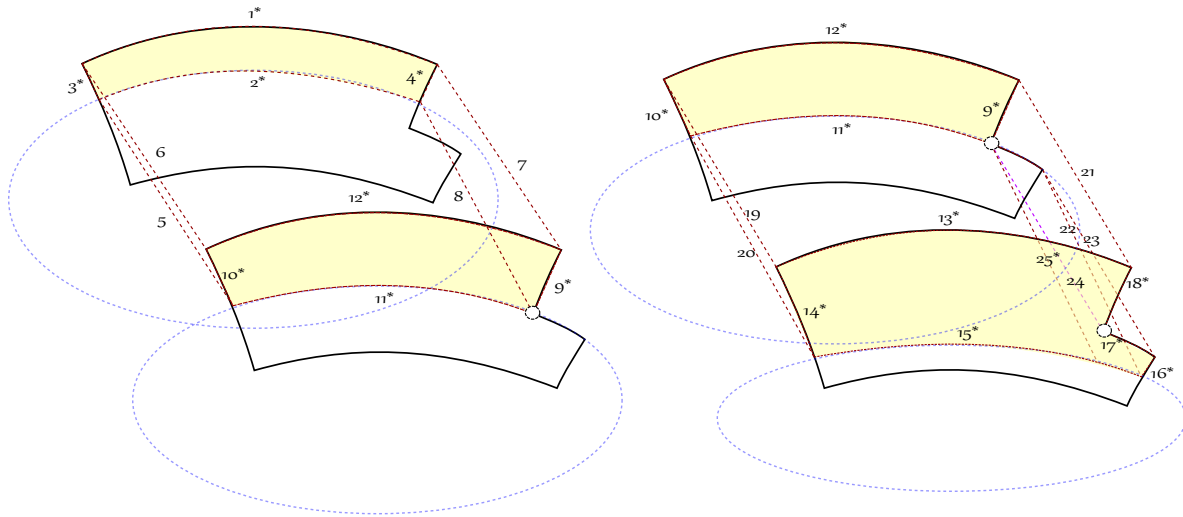


Рис. 11: Пример 1-клеток комплекса U_{λ_2} для билиарда, изображённого на рисунке. Желтым обозначены области возможного движения. Слева изображены 1-клетки, соответствующие значениям дополнительного интеграла $\Lambda \leq c$, справа — $\Lambda \geq c$. Всего в комплексе U_{λ_2} будет 46 одномерных клетки (они отмечены красным цветом), из них 14 клеток первого типа и 32 второго (множество Q состоит из 15 элементов). Если номер отрезка помечен звездочкой, то в данный отрезок проектируется две клетки из U_{λ_2} при естественной проекции π , если двумя звездочками — четыре, иначе — одна. Белым отмечены особые точки.

3. Построим 2-клетки, для этого вновь рассмотрим множество граничных квадрик Q , построенных в предыдущем пункте. 2-клеток вновь будет два типа, то есть $U_{(\lambda_i)}^2 = U_{(\lambda_i)}^{2,1} \cup U_{(\lambda_i)}^{2,2}$. Первый тип 2-клеток — это связные компоненты при естественной проекции π квадрик из Q при всех значениях дополнительного интеграла Λ из множества $\Lambda \in (c - \varepsilon, c) \cap (c, c + \varepsilon)$. Второй тип 2-клеток — это связные прообразы пересечений областей возможного движения Ω_c^-, Ω_c и Ω_c^+ с элементарными билиярдами разбиения $\Sigma_1, \dots, \Sigma_N$ при фиксированных значениях дополнительного интеграла $\Lambda = c - \varepsilon, \Lambda = c$ и $\Lambda = c + \varepsilon$ соответственно (см. пример на рис. 12).
4. Завершим построение комплексов $U_{(\lambda_i)}$, построив трехмерные клетки. Рассмотрим произвольное значение интеграла $\Lambda = \alpha \in [c - \varepsilon, c + \varepsilon]$ и область возможного движения Ω_α для такого значения интеграла. Рассмотрим связные компоненты прообразов при естественной проекции π пересечений внутренностей областей возможного движения Ω_α с элементарными билиярдами разбиения $\Sigma_1, \dots, \Sigma_N$. Эти связные прообразы еще раз разобьем на две части по значениям дополнительного интеграла Λ , разрезав клетки по линии уровня функции $\Lambda = c$ (см. пример на рис. 13).

Утверждение 2. *Рассмотрим однородный билиард Ω с выбранным на нем разбиением $\Sigma_1, \dots, \Sigma_N$ с граничными гиперболами (эллипсами) $\lambda_1, \dots, \lambda_n$. Данное выше определение комплексов U и U_{λ_i} корректно, то есть, все указанные клетки действительно гомеоморфны дискам соответствующей размерности и все свойства CW-комплексов выполнены.*

Доказательство. 1. Проверим, что n -мерные клетки действительно гомеоморфны n -мерным дискам и что граница i -мерной клетки содержится в объединении клеток

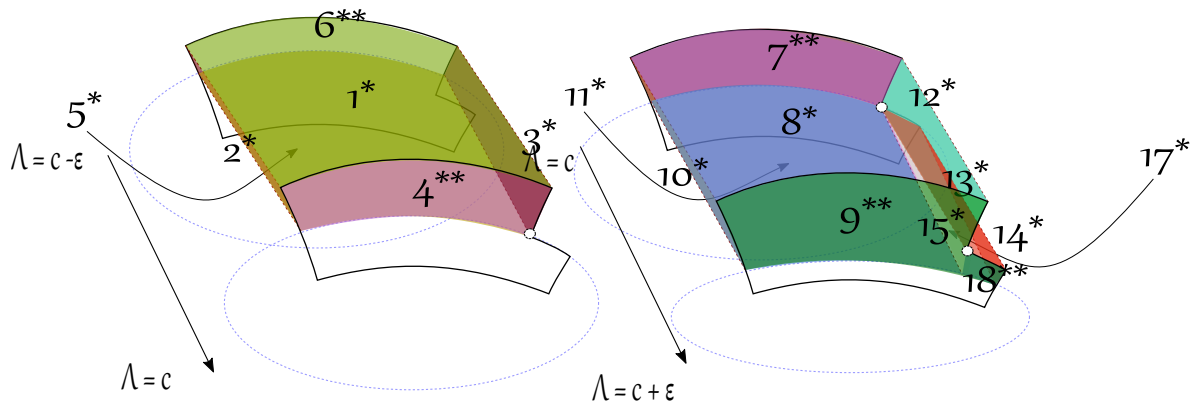


Рис. 12: Пример 2-клеток комплекса U_{λ_2} для билиярда, изображённого на рисунке. Слева изображены 2-клетки, соответствующие значениям дополнительного интеграла $\Lambda \leq c$, справа — $\Lambda \geq c$. Всего в комплексе U_{λ_2} будет 46 двумерных клеток. Из них 26 клетки первого типа и 20 клеток второго типа. Если номер поверхности помечен звездочкой, то в данную поверхность проектируется две клетки из U_{λ_2} при естественной проекции π , если двумя звездочками — то четыре, иначе — одна. Белым отмечены особые точки.

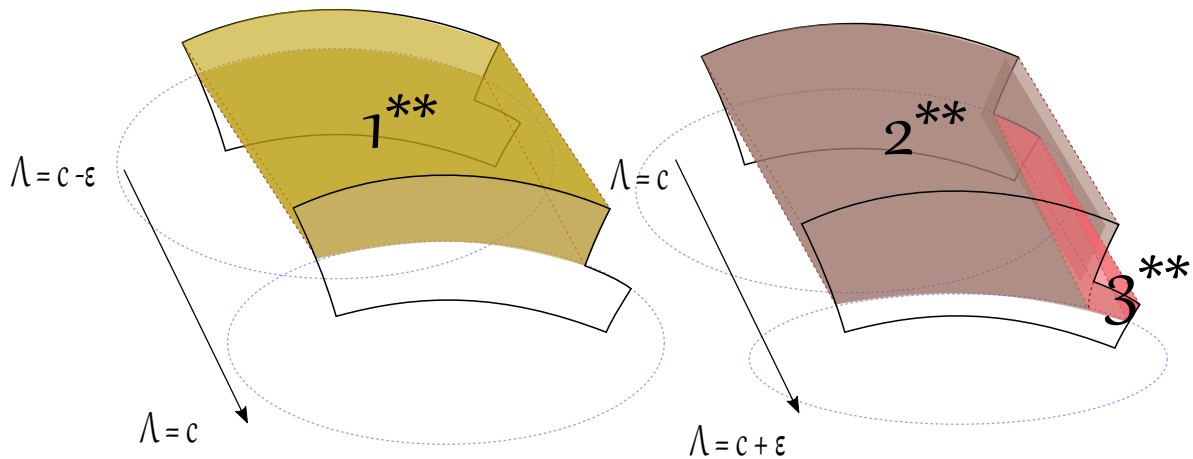


Рис. 13: Пример 3-клеток комплекса U_{λ_2} для билиярда, изображённого на рисунке. Слева изображены 3-клетки, соответствующие значениям дополнительного интеграла $\Lambda \leq c$, справа — $\Lambda \geq c$. Всего в комплексе U_{λ_2} будет 12 трехмерных клеток. В каждую трехмерную поверхность проектируется четыре клетки из U_{λ_2} .

меньшей размерности. Без ограничения общности, рассмотрим однородно-гиперболический билиард Ω с выбранным на нем разбиением на элементарные билиарды $\Sigma_1, \dots, \Sigma_N$. Рассмотрим сначала не седловой особый уровень дополнительного интеграла $\Lambda = \lambda_i$. В следствие теоремы Якоби-Шаля [1], в любой внутренней точке x билиярда Ω можно выбрать четыре различных вектора скорости, направленных по касательной к каустике. В вершинах углов $\pi/2$ все четыре вектора скорости склеиваются в один в силу определения отражения в углах (см. опр. 1.1), а в вершинах углов $3\pi/2$ векторы скорости не определены. Вне вершин углов, на тех сегментах границы билиярда Ω , которые попадают в область возможного движения, векторы скорости попарно склеиваются в силу билиардного закона отражения, т.е. в таких точках билиярда определены только два несовпадающих вектора скорости. Также

два вектора скорости определены в точках, лежащих на каустике, так как в таких точках можно задать только два лежащих касательных вектора, которые лежат на одной прямой.

В случае $\Lambda = b$ в силу оптического свойства квадрик, на таком уровне вектора скорости всех точек обязаны лежать на прямых, проходящих через фокусы (каустика на данном уровне не определена). В таком случае, два вектора скорости будут определены также в точках фокальной прямой и только один вектор скорости будет определён в точках пересечения фокальной прямой и границы бильярда.

Очевидно, что 0-клетки комплекса $U_{(\lambda_i)}$ гомеоморфны 0-мерным дискам. Далее, рассмотрим одномерные клетки комплексов $U_{(\lambda_i)}$ первого типа. В точке x из P может быть определен либо один единственный вектор скорости, либо два. Тогда при изменении дополнительного интеграла Λ вектор скорости в точке x будет меняться непрерывно, а потому множества (x, v) , где $x \in P$ будут гомеоморфны либо одному отрезку (если в точке x был определен 1 вектор), либо двум (если в точке x было определено 2 вектора). Также заметим, что границами 1-клеток первого будут 0-клетки, так как это будут точки вида (x, v) , $x \in P$, $\Lambda = c \pm \varepsilon$, $\Lambda = c$, что в точности совпадает с 0-клетками. Второй тип 1-клеток гомеоморфен отрезкам и его границами являются 0-клетки по определению.

Рассмотрим 2-клетки. Начнем с 2-клеток первого типа и рассмотрим сегмент границы бильярда Ω из Q (ограниченный точками из P). В каждой точке x такого сегмента q , на каждом уровне интеграла $\Lambda = \alpha$, можно определить два вектора скорости, следовательно, каждая 2-клетка гомеоморфна произведению квадрики q на отрезок (так как мы выбираем связную компоненту). В итоге, каждая 2-клетка первого типа гомеоморфна 2-диску и ее границей будут 1-клетки первого типа (пары (x, v) , с фиксированной точкой x). Легко заметить, что границами таких клеток будут 1-клетки. 2-клетки второго типа, очевидно, гомеоморфны 2-дискам и их границами являются 1-клетки второго типа.

Теперь рассмотрим 3-клетки. В каждой внутренней точке x области возможного движения Ω_α определены четыре вектора скорости и $\Omega_\alpha \cong \Omega_\beta$, если и только если α и β одновременно больше c , одновременно равны c , либо одновременно меньше c . Следовательно каждая двумерная клетка гомеоморфна $A \times I$, где A — область бильярда, гомеоморфная пересечению Ω_α с некоторым элементарным бильярдом разбиения Σ_j . Также легко заметить, что их границами являются 2-клетки первого и второго типа.

Аксиомы C и W выполнены в силу конечности размерности и количества клеток каждой размерности.

□

6 Окрестности особых слоев $\Lambda = \lambda_i$. Описание топологии атомов U_{λ_i} .

Особый интерес при исследовании бильярдов с невыпуклыми углами на границе бильярдной области представляют атомы на уровне $\Lambda = \lambda_i$, где λ_i — параметр квадрики на которой лежат вершины углов $3\pi/2$. При переходе через эти критические уровни меняется род регулярной поверхности, так как в области возможного движения меняется количество особых точек. В выпуклых бильярдах не существует аналогов таких слоев.

Перейдем к рассмотрению случаю $\Lambda = \lambda_i$ и, соответственно, к изучению топологии трехмерного комплекса U_{λ_i} . Зафиксируем плоский, односвязный и однородный бильярд

на плоскости Ω . Также без ограничения общности будем предполагать, что билиард однородно-гиперболический, что особые точки лежат только на правой дуге гиперболы и что вблизи гиперболы λ_i нет других дуг граничных гипербол, содержащих особые точки (см. замечания после Теоремы 3). Начнем изучение топологии комплекса U_{λ_i} с определения комплекса $\tilde{U}_{\lambda_i} \subset U_{\lambda_i}$, проектирующегося при естественной проекции $\pi : Q^3 \rightarrow \Omega$ на область билиарда $\Omega_{\lambda_i} = \{x \in \Omega \mid d(x, \lambda_i) \leq \varepsilon, \exists(x, v) \in U_{\lambda_i} : \pi(x, v) = x\}$, где $d(x, y)$ — стандартная метрика на плоскости, то есть в участок области возможного движения при фиксированном интеграле $\Lambda = \lambda_i$ вблизи гиперболы с параметром λ_i . Введем некоторые обозначения. Рассмотрим область билиарда Ω_{λ_i} , разрежем ее по гиперболе λ_i . Обозначим через ν число компонент связности внутри гиперболы λ_i , а через ξ — число компонент связности вне гиперболы λ_i (см. рис. 14).

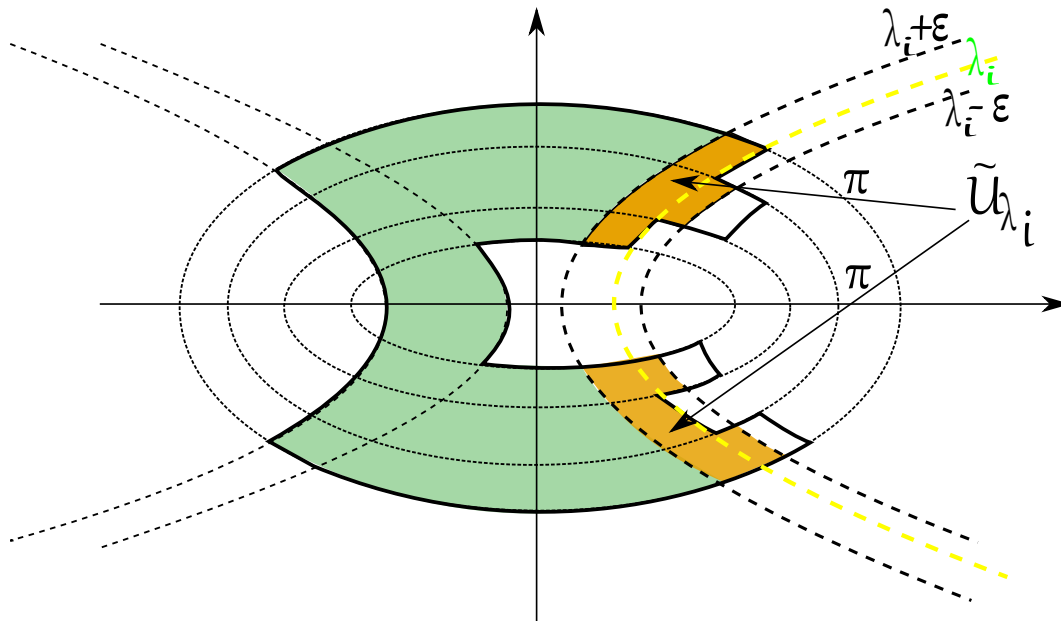


Рис. 14: Пример. Область Ω_{λ_i} — это область между двумя гиперболами с параметрами $\lambda_i + \varepsilon$ и $\lambda_i - \varepsilon$. Здесь $\nu = 2, \xi = 3$.

Перейдем от разбиения $\Sigma_1, \dots, \Sigma_N$ билиарда Ω к разбиению «полосы» Ω_{λ_i} . Рассмотрим элементарные билиарды $\Sigma'_j = \Sigma_j \cap \Omega_{\lambda_i}$. Получившиеся в итоге разбиение участка билиарда Ω_{λ_i} обозначим через $\Sigma'_1, \dots, \Sigma'_t, \dots, \Sigma'_{\xi+\nu}$, где $\xi + \nu \leq N$.

6.1 Определение разрезающих комплексов T_i .

Рассмотрим трехмерный комплекс \tilde{U}_{λ_i} , определенный выше. Определим двумерный подкомплекс T_i в трехмерном комплексе \tilde{U}_{λ_i} , который будет прообразом граничной дуги при естественной проекции π при фиксированном дополнительном интеграле $\Lambda \in [\lambda_i - \varepsilon, \lambda_i + \varepsilon]$.

ОПРЕДЕЛЕНИЕ 15. Рассмотрим однородно-гиперболический (эллиптический) билиард Ω с выбранным на нем разбиением $\Sigma_1, \dots, \Sigma_N$ и рассмотрим двумерный остов $T_i \subset \tilde{U}_{\lambda_i}$ трехмерного подкомплекса $\tilde{U}_{\lambda_i} \in U_{\lambda_i}$, где клетки выбраны как показано в главе 5.

6.2 Описание комплекса $U_{\lambda_i} \setminus \tilde{U}_{\lambda_i}$.

Перед подробным анализом топологии трехмерного комплекса \tilde{U}_{λ_i} сначала рассмотрим трехмерный комплекс $U_{\lambda_i} \setminus \tilde{U}_{\lambda_i}$, где пары $(x, v) \in U_{\lambda_i} \setminus \tilde{U}_{\lambda_i}$ проектируются естественной

проекцией π в бильярдную область «вне дуги λ_i », то есть, в область бильярда $\Omega \setminus \Omega_{\lambda_i}$. Заметим, что движение в области $\Omega \setminus \Omega_{\lambda_i}$ на уровнях дополнительного интеграла $\Lambda \in [\lambda_i - \varepsilon, \lambda_i + \varepsilon]$ происходит аналогично движению на неособом уровне, так как область возможного движения меняется в окрестности гиперболы λ_i , а каждая точка внутренняя области $\Omega \setminus \Omega_{\lambda_i}$ по прежнему оснащается четырьмя векторами скорости.

Для этого рассмотрим произвольный однородно-гиперболический бильярд Ω и его произвольный неособый слой $\Lambda = \alpha$, описывающийся теоремой 2. Теперь обрежем этот бильярд по произвольной гиперболе, обозначим получившийся «обрезанный» бильярд через $\hat{\Omega}$ и найдем чему теперь гомеоморфен слой $\Lambda = \alpha$.

Утверждение 3. *Рассмотрим однородно-гиперболический бильярд Ω и неособый слой дополнительного интеграла $\Lambda = \alpha$. Теперь разрежем бильярд Ω по дуге гиперболы с параметром θ , не содержащей вершин углов, обозначим получившийся бильярд (внутри дуг разрезанной гиперболы) через $\hat{\Omega}$. Тогда полный прообраз при проекции π бильярда $\hat{\Omega}$ в Q^3 гомеоморфен поверхности рода $g + 1$ с g выколотыми и где ν ручек этой поверхности разрезаны. Здесь g — количество особых точек, лежащих внутри области возможного движения при дополнительном интеграле $\Lambda = \alpha$ и лежащих внутри бильярда $\hat{\Omega}$. А ν — число связных компонент граничной дуги гиперболы с параметром θ .*

Доказательство. В силу теоремы 2 [4] неособый слой дополнительного интеграла Λ у бильярда $\hat{\Omega}$ был бы гомеоморфен поверхности рода $g + 1$ с g выколотыми точками, если бы на гиперболе разреза θ выполнялся бы бильярдный закон. Обозначим этот двумерный (значение обоих интегралов фиксировано) комплекс через G . Выберем заполнение бильярда Ω софокусными гиперболами семейства, тогда мы также сможем расслоить G на одномерные прообразы гипербол расслоения при естественной проекции π . Найдем прообраз произвольной гиперболы из расслоения, оснащенной векторами скорости, направленными вправо. Каждая внутренняя точка x бильярда Ω , лежащая в области возможного движения, может быть оснащена двумя векторами скорости, каждая точка x , лежащая на границе бильярда — двумя, которые склеиваются по бильярдному закону. Тогда прообраз такой оснащенной гиперболы — ν окружностей, где ν ее число компонент связности. Тогда отмена бильярдного закона на гиперболе θ — это разрез ν ручек. \square

6.3 Описание не седловых бифуркационных слоев.

Следующая теорема описывает топологию трёхмерного комплекса \tilde{U}_{λ_i} (см. рис. 15).

Теорема 3. *Рассмотрим однородно-гиперболический бильярд Ω с выбранным на нем разбиением $\Sigma_1, \dots, \Sigma_N$. Рассмотрим окрестность $\Lambda \in [\lambda_i - \varepsilon, \lambda_i + \varepsilon]$ особого слоя второго интеграла $\Lambda = \lambda_i$ и, соответственно, трехмерные комплексы U_{λ_i} и \tilde{U}_{λ_i} . Также рассмотрим область $\Omega_{\lambda_i} \subset \Omega$ и перейдем к ее фокальному разбиению на элементарные бильярды $\Sigma'_1, \dots, \Sigma'_{\nu+\xi}$. Вырежем из комплекса U_{λ_i} трехмерный комплекс \tilde{U}_{λ_i} , а из \tilde{U}_{λ_i} вырежем двумерный разрезающий комплекс T_i . Тогда:*

1. Трехмерный комплекс $U_{\lambda_i} \setminus \tilde{U}_{\lambda_i} \cong G_g \times I$, где G_g — поверхность рода $g + 1$ с g выколотыми и где ν ручек этой поверхности разрезаны. Здесь g — количество особых точек, лежащих внутри области возможного движения при дополнительном интеграле $\Lambda = \alpha \in [\lambda_i - \varepsilon, \lambda_i + \varepsilon]$ и лежащих внутри бильярда $\Omega \setminus \Omega_{\lambda_i}$;
2. Двумерный комплекс $T_i \cong Gr_i \times I$, где Gr_i — граф, построенный по Алгоритму 1;

3. Трёхмерный комплекс $\tilde{U}_{\lambda_i} \setminus T_i|_{\Lambda=\alpha, \alpha \in [\lambda_i - \varepsilon, \lambda_i]} \cong (C_1 \cup \dots \cup C_{2\nu+2\xi}) \times I$;
Трёхмерный комплекс $\tilde{U}_{\lambda_i}|_{\Lambda=\alpha, \alpha \in [\lambda_i, \lambda_i + \varepsilon]} \cong (C_1 \cup \dots \cup C_{2\nu}) \times I$;
4. Трёхмерный комплекс $\tilde{U}_{\lambda_i} \setminus T_i|_{\Lambda=\alpha, \alpha \in [\lambda_i - \varepsilon, \lambda_i]}$ приклеивается к двумерному комплексу T_i послойно: на каждом уровне $\Lambda = \alpha, \alpha < \lambda_i$ все цилиндры $(C_1 \cup \dots \cup C_{2\nu+2\xi})$ приклеиваются к графу Gr_i по Алгоритму 2, а при $\Lambda = \lambda_i$ к графу Gr_i приклеиваются только цилиндры $C_1 \cup \dots \cup C_{2\nu}$ (Алгоритм 2 применяется только для элементарных бильярдов $\Sigma'_1, \dots, \Sigma'_N$).

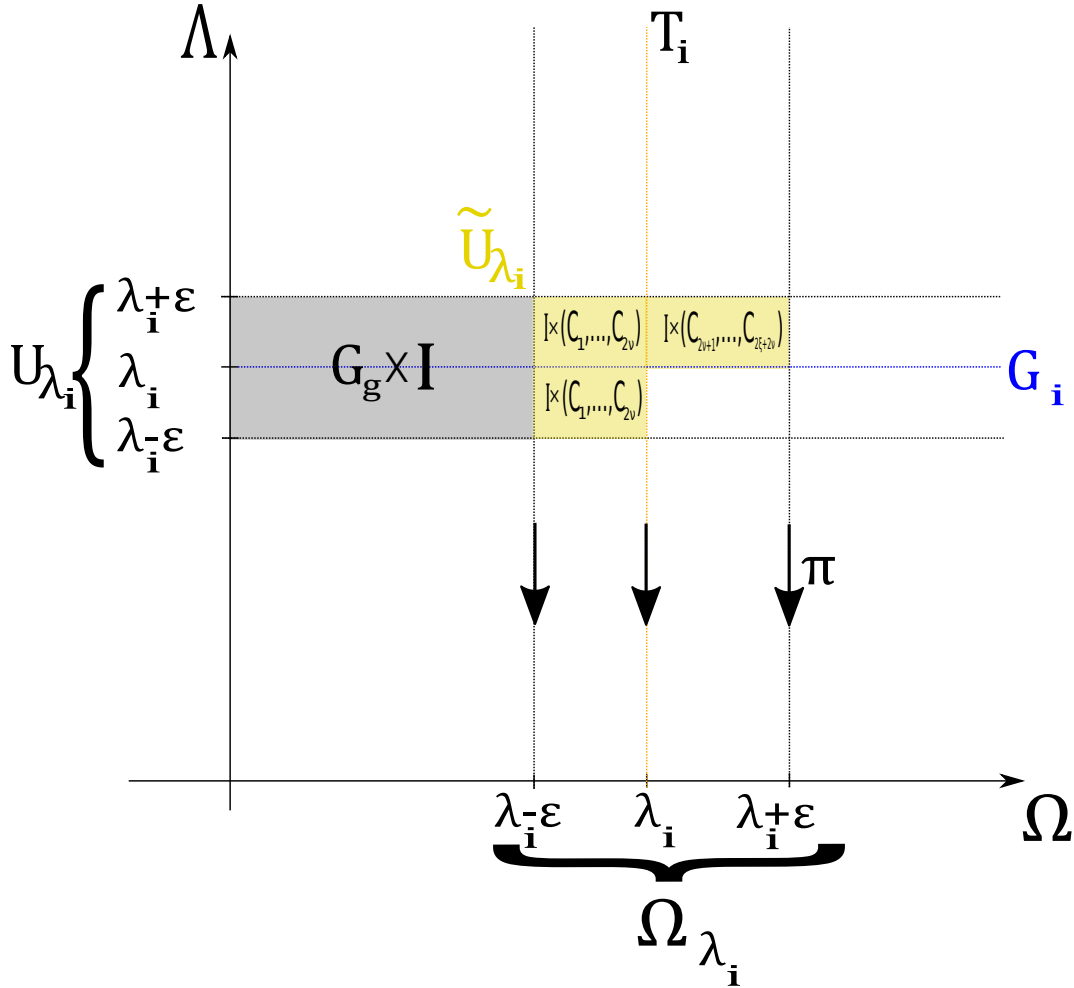


Рис. 15: Иллюстрация теоремы 3. По оси абсцисс обозначены значения естественной проекции π , а по оси ординат — значения дополнительного интеграла Λ .

Алгоритм 1. Алгоритм построения графа Gr_i — прообраза дуги λ_i при естественной проекции π при любом фиксированном значении дополнительного интеграла $\Lambda = \alpha \neq b$.

Шаг 1. Рассмотрим ту часть граничной дуги λ_i бильярда Ω , которая попадает в область возможного движения Ω_α при заданном значении интеграла $\Lambda = \alpha \neq b$. Рассмотрим пересечения этой дуги λ_i с границами области возможного движения бильярда Ω_α . На этой части дуги λ_i отметим черными точками

$$b_1^i, \dots, b_{n_i^b}^i$$

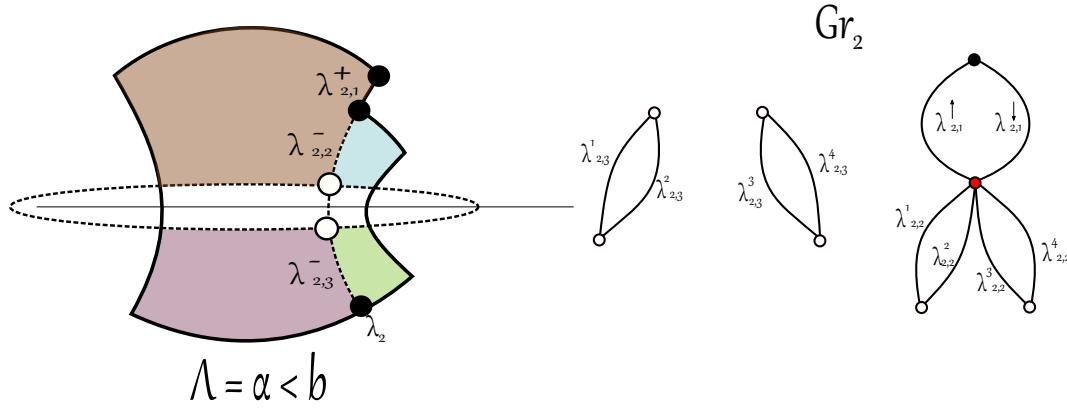


Рис. 16: Пример построения графа Gr_2 по Алгоритму 1 для дуги граничной гиперболы λ_2 биллиарда, изображенного на рисунке.

все вершины углов $\pi/2$ или $3\pi/2$. Белыми точками

$$w_1^i, \dots, w_{n_i^w}^i$$

отметим пересечения дуги λ_i с границами области возможного движения Ω_α вне вершин углов. Обозначим множество черных точек на граничной дуге λ_i через B_i , а белых — W_i . Теперь рассмотрим сегменты граничной дуги λ_i , ограниченные отмеченными точками и попадающие в область возможного движения. Назовем их $\lambda_{i,t}$, введя на дуге λ_i естественную нумерацию сегментов t , здесь $t \in 1, \dots, n_i^w + n_i^b$. Дополнительно пометим сегменты граничных дуг $\lambda_{i,t}$ символом «+», если сегмент является частью границы области возможного движения Ω_α , и символом «-», если сегмент $\lambda_{i,t}$ является границей между элементарными биллиардами разбиения, но не является сегментом границы объемлющей области возможного движения Ω_α .

Шаг 2. Рассмотрим граничную дугу λ_i и завершим построение $Gr_i \cong \pi^{-1}(\lambda_i)|_{\Lambda=\alpha}$. Каждой черной точке из множества B_i соответствует одна вершина графа

$$b_1^i, \dots, b_{n_i^b}^i.$$

Каждой белой точке из множества W_i соответствуют две вершины (всего $2n_i^w$ вершин) графа Gr_i , обозначаемые

$$w_1^{i,r}, w_1^{i,l}, \dots, w_{n_i^w}^{i,r}, w_{n_i^w}^{i,l}.$$

Каждому граничному сегменту $\lambda_{i,t}^+$ будут соответствовать два ребра (векторы в Q^3 будут направлены вверх и вниз)

$$\lambda_{i,t}^{\uparrow}, \lambda_{i,t}^{\downarrow} \in Gr_{\lambda_i},$$

а каждому граничному сегменту $\lambda_{i,t}^-$ — четыре:

$$\lambda_{i,t}^1, \lambda_{i,t}^2, \lambda_{i,t}^3, \lambda_{i,t}^4 \in Gr_{\lambda_i}.$$

Теперь расставим на ребрах $\lambda_{i,t}^v$ графа Gr_{λ_i} буквы

$$b_1^i, \dots, b_{n_i^b}^i, w_{n_i^b+1}^{i,r}, w_{n_i^b+1}^{i,l}, \dots, w_{n_i^w+n_i^b}^{i,r}, w_{n_i^w+n_i^b}^{i,l}$$

по таблицам на рис. 17. Теперь повторим Шаг 2 для всех значений $i \in 1, \dots, n$ и для всех значений $t \in 1, \dots, n_i^w + n_i^b$. Проведем склейку по совпадающим буквам. Выкалываем все черные точки графов Gr_{λ_i} , соответствующие особым точками бильярда Ω .

Теперь нужно указать способ, которым цилиндры $C_1 \cup \dots \cup C_{t+s}$ приклеиваются к графам Gr_i .

Алгоритм 2. Склейка графов Gr_i и цилиндров (двумерных прообразов при естественной проекции π элементарных бильярдов Σ_j без границ) $C_1, \dots, C_{\nu+\xi}$ на произвольном не седловом уровне дополнительного интеграла $\Lambda = \alpha \neq b$.

Шаг 1. Рассмотрим два двумерных цилиндра $S^1 \times I$ для каждого элемента фокального разбиения Σ'_j области возможного движения Ω_α (см. главу 4.2). Обозначим один из них через C_j^L , а другой — C_j^R . Будем помечать граничные окружности каждого цилиндра буквами $\lambda_{i,t}^v$ ($v = 1, 2, 3, 4, \uparrow, \downarrow$) по следующему правилу: Рассмотрим элементарный бильярд Σ'_j и одну из его дуг граничных гипербол с параметром λ_i . Пусть на этой границе бильярда Σ'_j отмечены $L+L'$ сегментов граничных гипербол

$$\lambda_{i,1}^{+,-}, \dots, \lambda_{i,L+L'}^{+,-},$$

где на сегменте выставлен либо символ «+» (таких сегментов L), либо символ «-» (таких сегментов L'). Рассмотрим одну из граничных окружностей S_R^1 цилиндра C_j^R (аналогично окружность S_L^1 цилиндра C_j^L). Разделим окружность S_R^1 на $2L + 2L'$ частей. Выберем точку на окружности S_R^1 на границе любых из $2L + 2L'$ частей. Будем ставить в соответствие частям окружности S_R^1 (S_L^1) сегменты $\lambda_{i,t}^{+,-}$. Поставим в соответствие первому $\lambda_{i,1}^{+,-}$ две части окружности: справа и слева от отмеченной на S_R^1 (S_L^1) точки. Следующему сегменту $\lambda_{i,t}^{+,-}$ будут соответствовать две следующие части окружности S_R^1 (S_L^1): опять же справа и слева от точки, и т.д. В результате каждому сегменту граничной гиперболы $\lambda_{i,t}^{+,-}$ поставим в соответствие четыре сегмента граничных окружностей (отрезка) S_R^1 и S_L^1 . Соответствующие сегменту $\lambda_{i,t}^+$ отрезки помечаются следующим образом: на обоих цилиндрах ставятся одинаковые буквы $\lambda_{i,t}^\uparrow, \lambda_{i,t}^\downarrow$. Соответствующие сегменту $\lambda_{i,t}^-$ отрезки помечаются следующим образом: на S_R^1 ставим $\lambda_{i,t}^1, \lambda_{i,t}^2$, а на S_L^1 ставим $\lambda_{i,t}^3, \lambda_{i,t}^4$.

Шаг 2. Повторим Шаг 1 для всех элементарных бильярдов Σ'_j из фокального разбиения области возможного движения Ω_α на элементарные бильярды.

Доказательство. Рассмотрим однородно-гиперболический бильярд Ω , его подобласть $\Omega_{\lambda_i} \subset \Omega$ и разбиение области Ω_{λ_i} на элементарные бильярды $\Sigma'_1, \dots, \Sigma'_{t+s}$. Проведем дугу гиперболы с параметром λ_i .

Зафиксируем произвольное значение второго интеграла $\Lambda = \alpha, \alpha \in [\lambda_i - \varepsilon, \lambda_i + \varepsilon]$. Рассмотрим область возможного движения Ω_α , находящуюся внутри «полосе» Ω_{λ_i} , а именно, рассмотрим область $\tilde{\Omega}_\alpha = \Omega_{\lambda_i} \cap \Omega_\alpha$ и ее разбиение на элементарные бильярды (см. 4.2). В следствие теоремы Якоби-Шаля [1], в любой внутренней точке x бильярда Ω можно выбрать четыре различных вектора v_1, v_2, v_3, v_4 скорости, направленных по касательной к каустике. Расслоим область $\tilde{\Omega}_\alpha$ на невырожденные гиперболы из софокусного семейства. Рассмотрим множества в \tilde{U}_{λ_i} , задаваемые как пары $(x \in \Sigma'_j, v_1)$, где v_1 — вектор, направленный от левого фокуса и пары $(x \in \Sigma'_j, v_2)$, где v_2 — вектор, направленный к правому фокусу. На эллиптических границах бильярдной области Ω_α множества пар (x, v_1) и (x, v_2) склеятся по бильярдному закону, а, следовательно, множества пар $(x \in \Sigma'_j, v_1)$ и $(x \in \Sigma'_j, v_2)$ склеются в \tilde{U}_{λ_i} по прообразу этой границы при естественной проекции

π . Пары $(x \in \Sigma'_j, v_3)$ и $(x \in \Sigma'_j, v_4)$ склеются аналогично на гиперболических границах биллиарда. Теперь осталось заметить, что $(x \in \Sigma'_j, x \notin \partial \Sigma'_j, v_l), l = 1, 2, 3, 4$ гомеоморфно двумерному диску $I \times I$, так как все элементарные биллиарды разбиения имеют форму квадрата с границами из эллипсов и гипербол. В результате, заметим, что каждому элементарному биллиарду разбиения (без границы) соответствует два двумерных цилиндра C_j^R и C_j^L .

1. Трехмерный комплекс $U_{\lambda_i} \setminus \tilde{U}_{\lambda_i}$ послоен на двумерные комплексы, соответствующие значениям второго интеграла $\Lambda = \alpha, \alpha \in [\lambda_i - \varepsilon, \lambda_i + \varepsilon]$. В силу выбора достаточно малого ε в области возможного движения при таких значениях интеграла будет лежать одинаковое количество вершин углов $3\pi/2$, а следовательно, в силу теоремы 2 на каждом уровне $\Lambda = \alpha$ в $U_{\lambda_i}/\tilde{U}_{\lambda_i}$ будут лежать поверхности одного рода (до разрезания). Далее остается только применить Утверждение 3.
2. Рассмотрим дополнительный интеграл Λ . Если $\Lambda = \alpha, \alpha \in [\lambda_i - \varepsilon, \lambda_i]$, то дуга гиперболы λ_i попадает в область возможного движения. Рассмотрим уровень $\Lambda = \alpha$, на дуге гиперболы λ_i следующим образом определены вектора скорости: один вектор для вершин углов, два вектора для точек, лежащих на границе биллиарда Ω и четыре вектора для точек, лежащих вне границы биллиарда. Прообразом дуги гиперболы λ_i будет граф $\pi^{-1}(\lambda_i)|_{\Lambda=\alpha} \cong Gr_i$, причем этот граф не меняется при изменении α в пределах отрезка $[\lambda_i - \varepsilon, \lambda_i]$, так как количество прообразов при естественной проекции π у точки зависит только от ее типа (граничная, угловая или особая) в биллиарде Ω . При $\Lambda = \alpha, \alpha \in (\lambda_i, \lambda_i + \varepsilon]$ гипербола λ_i не попадает в область возможного движения Ω_α , следовательно, прообраз будет пустым.
3. В силу рассуждения выше и его независимости от значения второго интеграла, если элементарный биллиард Σ'_j попадает в область возможного движения при заданном значении интеграла Λ , то его прообразом при естественной проекции π в \tilde{U}_{λ_i} будут два цилиндра. После вырезания дуги гиперболы λ_i , область Ω_{λ_i} распадется на элементарные биллиарды $\Sigma'_1, \dots, \Sigma'_{\nu+\xi}$. Пока дополнительный интеграл $\Lambda \leq \lambda_i$, то в область возможного движения попадают все элементарные биллиарды $\Sigma'_1, \dots, \Sigma'_{\nu+\xi}$, а после того, как интеграл Λ превысит значение λ_i — только ν элементарных биллиардов, лежащих левее внутри гиперболы с параметром λ_i .
4. На каждом уровне $\Lambda = \alpha$ происходит склейка векторов $(x, v_u), x \in \lambda_i, u = 1, 2, 3, 4$ по биллиардному закону. Это склейка поднимается естественной проекцией π до послойной склейки комплекса T_i и комплекса $\tilde{U}_{\lambda_i} \setminus T_i|_{\Lambda=\alpha, \alpha \in [\lambda_i - \varepsilon, \lambda_i]}$. Если $\Lambda = \lambda_i$, то в область возможного движения попадают только элементарные биллиарды фокального разбиения $\Sigma'_1, \dots, \Sigma'_\nu$ и дуга гиперболы λ_i , так как только они лежат внутри гиперболы λ_i . Если $\Lambda < \lambda_i$, то в область возможного движения попадают все элементарные биллиарды $\Sigma'_1, \dots, \Sigma'_{\nu+\xi}$. Конструкция склейки по биллиардному закону не зависит от уровня интеграла Λ , а потому, нужно выставить метки $\lambda_{i,t}^{+,-}$ на граничной дуге λ_i всех элементарных биллиардов $\Sigma'_1, \dots, \Sigma'_{\nu+\xi}$, но при $\Lambda = \lambda_i$ последние ξ элементарных биллиардов разбиения не будут приклеиваться к графу Gr_i . Зафиксируем произвольное значение интеграла $\Lambda = \alpha$. Рассмотрим множества $\lambda_i^u = ((x, v_u) \in Q^3 | x \in \lambda_i, u = \rightarrow, \leftarrow)$ и разделим λ_i^u на сегменты $\tilde{\lambda}_{i,t}^u$, аналогично Алгоритму 1. Поскольку на сегментах $\tilde{\lambda}_{i,t}^u$, которые помечены символом «+», происходит склейка по биллиардному закону, то к этому множеству приклеиваются граничные окружности цилиндров C_j^R и C_j^L и склеиваются друг с другом. Если сегмент $\tilde{\lambda}_{i,t}^u$ помечен знаком «-», то на нем склейки не происходит и, в результате, $\tilde{\lambda}_{i,t}^u$ не склеиваются друг с другом, но к ним приклеиваются граничные окружности

цилиндров $C_j^R, C_{j'}^R$ и $C_j^L, C_{j'}^L$, где Σ_j' и $\Sigma_{j'}'$ — элементарные билиарды с общим граничным сегментом $\lambda_{i,t}$. Двумерные цилиндры $C_j^R, C_{j'}^R$ приклеиваются по граничной окружности к $\tilde{\lambda}_{i,t}^u$, где $u = (\rightarrow)$, а левые цилиндры соответственно к $\tilde{\lambda}_{i,t}^u$, где $u = (\leftarrow)$. Легко заметить, что Алгоритм 2 описывает идентичный механизм склейки. □

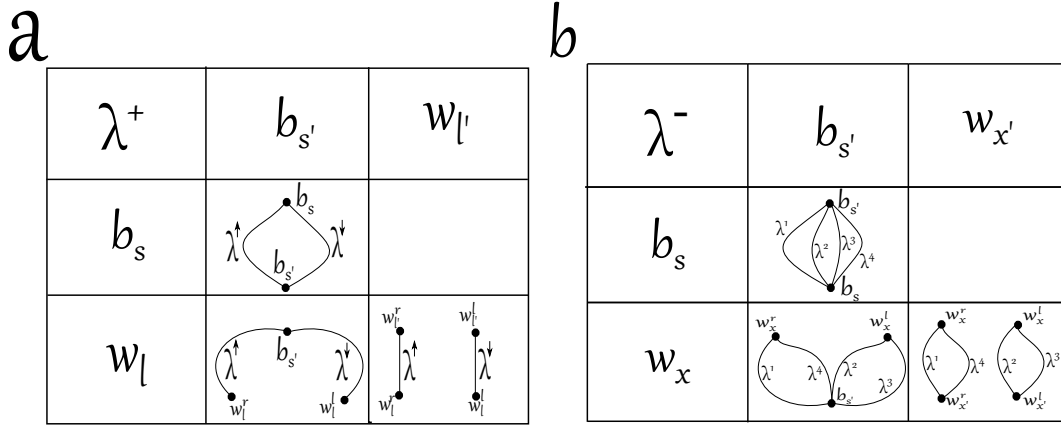


Рис. 17: Таблица построения граничных графов для Алгоритмов 1, где а — для сегментов дуги $\lambda_{i,t}$, отмеченных знаком «+», а б — для сегментов, отмеченных знаком «-».

Замечание 4. Из доказательства и утверждения 3 легко видеть, что в случае, если на обеих (на правой и на левой) дугах гиперболы λ_i лежат особые точки однородно-гиперболического билиарда Ω , то комплекс $U_{\lambda_i} \setminus \tilde{U}_{\lambda_i}$ разрежется по $\nu + \xi$ ручками, где ν — число компонент связности правой граничной дуги гиперболы $\lambda_i + \varepsilon$, а ξ — левой. Комплекс \tilde{U}_{λ_i} будет состоять из двух несвязных частей, каждая из которых построена в точности по теореме 3.

Замечание 5. Для однородно-эллиптических билиардов, в силу односвязности, теорема 3 будет верна без изменений.

7 Особый слой $\Lambda = b$. Описание топологии атомов U .

Перейдем к рассмотрению окрестности $U \subset Q^3$ особого слоя $\Lambda = b$. Совместные поверхности уровня дополнительного интеграла при $\Lambda < b$ — несвязное объединение поверхностей рода меньшего или равного сложности билиарда k , при этом траектории билиарда на таких уровнях касаются интегральных эллипсов, прижатых к сегменту фокальной прямой между фокусами. Поверхности уровня дополнительного интеграла при $\Lambda > b$ — несвязное объединение поверхностей рода меньшего или равного сложности билиарда k , при этом траектории билиарда касаются интегральных гипербол, прижатых к сегментам фокальной прямой вне фокусов. В классической теории (элементарных билиардов, см. [2]) была верна теорема, описывающая строение 3-атомов U через 2-атомы. Представим аналогичный результат для невыпуклых билиардов: сначала дадим определение 2-атомов, потом представим теорему сохранения рода, описывающую случаи, когда сумма родов поверхностей рода на совместной поверхности уровня меняется при переходе через $\Lambda = b$ и, наконец, будет представлена теорема, описывающая топологию трехмерного комплекса U .

7.1 Определение 2-атомов.

ОПРЕДЕЛЕНИЕ 16. Двумерным атомом называется пара (P_2, K) , где P_2 — связная компактная поверхность с краем, ориентируемая или неориентируемая, а K — связный граф в ней такой, что выполняются следующие условия.

1. Либо K состоит только из одной точки, т.е. изолированной вершины степени ноль, либо все вершины графа K имеют степень 4.
2. Каждая связная компонента множества $P_2 \setminus K$ гомеоморфна кольцу $S^1 \times (0, 1]$ и множество этих колец можно разбить на два класса — положительные кольца и отрицательные кольца так, так чтобы:
3. К каждому ребру графа K примыкало ровно одно положительное кольцо и ровно одно отрицательное кольцо.

При этом атомы обычно рассматривают с точностью до естественной эквивалентности: два атома (P_2, K) и (P'_2, K') эквивалентны, если существует гомеоморфизм, переводящий P'_2 в P_2 , и K' в K .

Рассмотрим встречающиеся в плоских компактных бильярдах двумерные атомы: атом A , атом B , атом C_2 и атом D_1 . В силу теоремы А.Т. Фоменко (см. теорему 3.3 в 2) трёхмерные атомы A , B , C_2 и D_1 получаются из их двумерных экземпляров прямым умножением на окружность S^1 (это утверждение неверно для атомов «со звёздочками»).

В случае бильярдов критическая окружность на атомах $\Lambda = b$ есть в точности прообраз фокальной прямой при естественной проекции π , так как точки фокальной прямой могут быть оснащены только двумя векторами скорости на этом уровне — от правого фокуса или к правому фокусу.

В дальнейшем нам понадобится разрезать бильярды по фокальной прямой, а поэтому представим «эквивалентную» операцию на 2-атомах.

ОПРЕДЕЛЕНИЕ 17. Рассмотрим однородный бильярд Ω . Разрежем его по фокальной (введем на ней бильярдный закон) оси. Обозначим через Ω^{top} — бильярд в области выше фокальной оси, а через Ω^{bot} — ниже фокальной оси. Атомы этих бильярдов будем также помечать верхними индексами top и bot .

Утверждение 4. *Рассмотрим элементарный бильярд Σ без фокусов, внутренность которого имеет непустое пересечение с фокальной прямой. Пусть особый слой G 3-атома U бильярда Σ получается из 2-атома V умножением на окружность S^1 . Тогда объединение особых слоев G^{top} и G^{bot} 3-атомов U^{top} и U^{bot} будет получаться домножением атома K , разрезанного по вершинам, на окружность.*

Доказательство. Рассмотрим 3-атом $U \cong V \times S^1$ и его проекцию $p : U \rightarrow V$ на 2-атом. В вершины графа K в 2-атоме V при проекции p проектируются в точности точки, соответствующие точкам критической окружности атома U . Как было замечено — это в точности точки, которые при естественной проекции π проектируются на фокальную прямую. \square

Таким образом, мы можем разбить кольца, которые получаются после разрезания атома K по вершинам на два класса — проектирующиеся в бильярд Σ^{top} и в Σ^{bot} .

7.2 Теорема сохранения рода.

Теорема 4. *Рассмотрим бильярд Ω и значения дополнительного интеграла $\Lambda \in [b - \varepsilon, b + \varepsilon]$. Пусть на совместных поверхностях уровня дополнительного интеграла $\Lambda < b$*

лежат поверхности рода g_1, \dots, g_f . А на поверхностях уровня $\Lambda > b$ лежат поверхности рода g'_1, \dots, g'_s . В этом случае,

$$g_1 + \dots + g_f = g'_1 + \dots + g'_s$$

тогда и только тогда, когда вершины углов $3\pi/2$ не лежат на фокальной прямой.

Доказательство. Согласно теореме 2 топология совместных поверхностей уровня интегралов в Q^3 описывается количеством связных компонент области возможного движения и количеством углов $3\pi/2$, лежащим внутри этих областей. А именно, каждой связной компоненте поверхности уровня соответствует сфера с количеством ручек (и выколотых точек), равным $k' + 1$, где k' — количество вершин углов $3\pi/2$ внутри области возможного движения. Условие сохранения рода в точности означает, что количество вершин углов $3\pi/2$ в области возможного движения при фиксированном дополнительном интеграле $\Lambda = b - \varepsilon$ равно количеству вершин углов $3\pi/2$ в области возможного движения при фиксированном дополнительном интеграле $\Lambda = b + \varepsilon$. Интегральными квадраками на таких уровнях интеграла будут: эллипс с параметром близким к b («прижатый» к сегменту фокальной прямой между фокусами) и гипербола с параметром близким к b («прижатая» к участку фокальной прямой вне фокусов). Сумма родов может измениться только в том случае, если вершины углов $3\pi/2$ лежат внутри такого интегрального или такой интегральной гиперболы. В силу произвольности ε это условие означает, что вершины углов обязаны лежать на фокальной прямой. \square

Замечание 6. В случае, когда вершины углов $3\pi/2$ лежат на фокальной прямой перестройки двух разных типов (с падением ранга и без) происходят «одновременно» на уровне $\Lambda = b$.

7.3 Основная теорема.

Аналогично случаю $\Lambda = \lambda_i$ определим двумерный подкомплекс T_i в трехмерном комплексе U , который будет соответствовать дуге граничной гиперболы λ_i .

ОПРЕДЕЛЕНИЕ 18. Рассмотрим однородный бильярд Ω с выбранным на нем разбиением $\Sigma_1, \dots, \Sigma_N$ и рассмотрим двумерную клетку $T_i \subset U$, состоящую из таких пар (x, v) , которые проектируются естественной проекцией π на дугу квадраки λ_i . Клетки выбраны как показано в главе 5.

Рассмотрим элементарные бильярды разбиения $\Sigma_1, \dots, \Sigma_N$. Топология 3-атомов U для каждого из таких элементарных бильярдов полностью описывается теоремой 4. Воспользуемся теоремой и обозначим соответствующие 2-атомы для таких бильярдов через V_j .

Рассмотрим однородный бильярд Ω , каустику с параметром $\lambda = b - \varepsilon$ и интегральную гиперболу семейства с параметром $\lambda = b + \varepsilon$. Теперь рассмотрим области возможного движения при таких значениях дополнительного интеграла Λ . Обозначим область возможного движения для $\Lambda = b - \varepsilon$ (область бильярда Ω вне эллипса, «близкого» к фокальной оси) через $\Omega_{b-\varepsilon}$. Аналогично область возможного движения при значениях интеграла $\Lambda = b + \varepsilon$ (между дуг гиперболы, «прижатых» к фокальной прямой) обозначим через $\Omega_{b+\varepsilon}$. Заметим, что области $\Omega_{b+\varepsilon}$ и $\Omega_{b-\varepsilon}$ могут оказаться несвязанными.

Теперь рассмотрим разбиение $\Sigma_1, \dots, \Sigma_N$ бильярда Ω . Выберем разбиения областей возможного движения $\Omega_{b+\varepsilon}$ и $\Omega_{b-\varepsilon}$ на элементарные билиарды $\Sigma_1^>, \dots, \Sigma_{N'}^>$ и $\Sigma_1^<, \dots, \Sigma_{N''}^<$ соответственно (см. опр. разбиения).

Сформулируем основной результат — теорему описания топологии седлового особого слоя для однородного бильярда. Графическую интерпретацию теоремы можно найти на рис. 18.

Теорема 5. Рассмотрим однородно-гиперболический бильярд Ω с выбранным на нем разбиением $\Sigma_1, \dots, \Sigma_N$. Рассмотрим окрестность значений дополнительного интеграла $b - \varepsilon \leq \Lambda \leq b + \varepsilon$ и соответствующий этой окрестности 3-атом U . Вырежем из трехмерного комплекса U все двумерные подкомплексы T_i для всех дуг граничных гипербола $\lambda_1, \dots, \lambda_n$ разбиения $\Sigma_1, \dots, \Sigma_N$. Тогда:

1. Двумерный комплекс T_i расслаивается на одномерные графы следующим образом: $T_i|_{\Lambda < b} \cong Gr_i^<$, $T_i|_{\Lambda = b} \cong Gr_i^=$, $T_i|_{\Lambda > b} \cong Gr_i^>$, где графы $Gr_i^<$, $Gr_i^=$, $Gr_i^>$ строятся по алгоритму 4;
2. Трехмерный комплекс $U \setminus (T_1 \cup \dots \cup T_n) \cong 2(V_1 \times I) \cup \dots \cup 2(V_N \times I)$, где объединение несвязно в силу однородности бильярда Ω ;
3. Двумерные комплексы $(T_1 \cup \dots \cup T_n)$ приклеиваются к трехмерному комплексу $U \setminus (T_1 \cup \dots \cup T_n)$ послойно (где на 2-атомах выбрано слоение на окружности), таким образом, к графам $Gr_i^<$, $Gr_i^=$, $Gr_i^>$ приклеиваются произведение колец атомов V_{Σ_j} на окружности (цилиндры) и произведение графов K этих атомов на окружность. Данная склейка описывается алгоритмом 5.

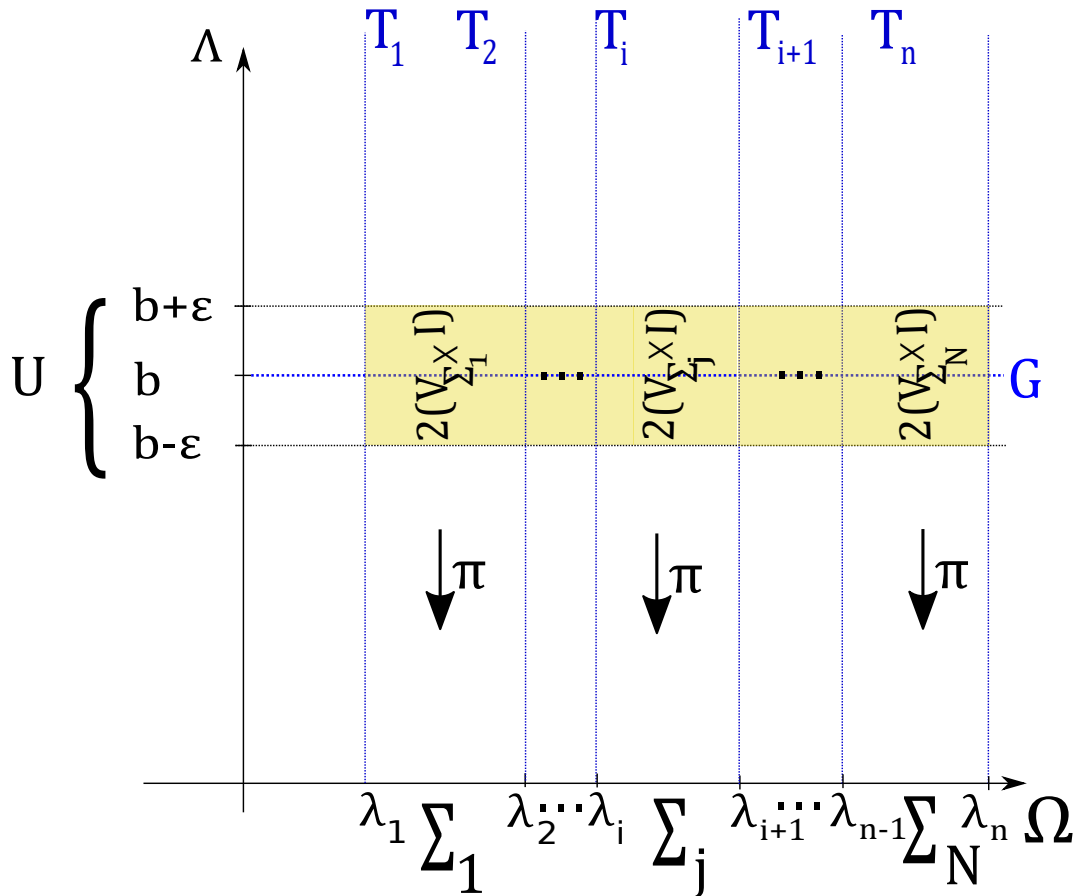


Рис. 18: Иллюстрация теоремы 5. По оси абсцисс обозначены значения естественной проекции π , а по оси ординат — значения дополнительного интеграла Λ .

Алгоритм 4.

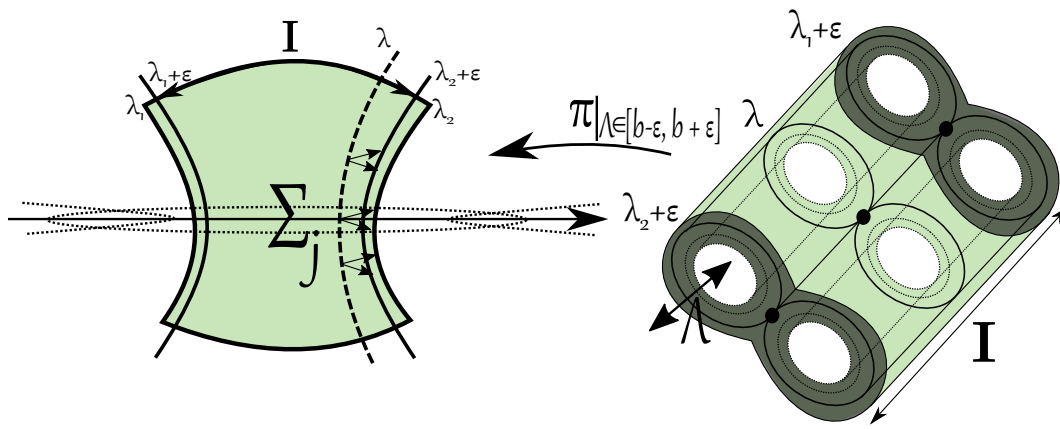


Рис. 19: Пример проекции двумерной клетки из U на элементарный бильярд Ω разбиения (без сегментов граничных гипербол). Двумерная клетка гомеоморфна $B \times I$, где B — двумерный атом. В образ клетки попадают только точки, оснащенные векторами, направленными вправо.

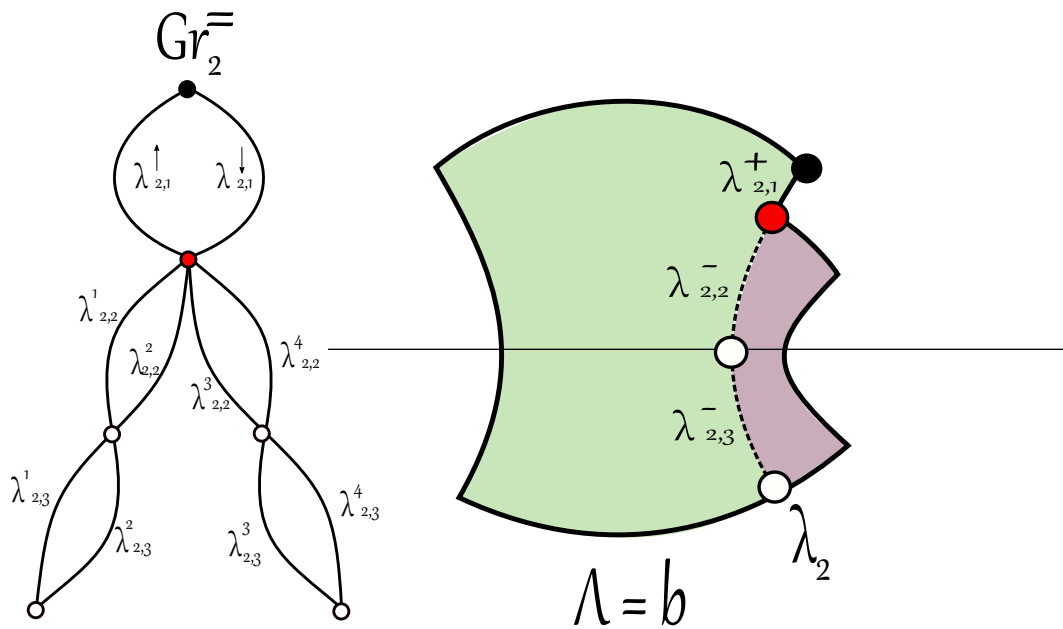


Рис. 20: Пример построения графа $Gr_2^=$ по Алгоритму 4 для дуги граничной гиперболы λ_2 бильярда, изображенного на рисунке.

1. Рассмотрим бильярд Ω и его разбиение на элементарные бильярды $\Sigma_1, \dots, \Sigma_N$. Рассмотрим дуги граничных гипербол такого разбиения $\lambda_1, \dots, \lambda_n$. Теперь рассмотрим области $\Omega_{b+\epsilon}$ и $\Omega_{b-\epsilon}$ и их разбиения на элементарные бильярды $\Sigma_1^>, \dots, \Sigma_N^>$ и $\Sigma_1^<, \dots, \Sigma_N^<$;
2. Построим графы $Gr_i^>$ и $Gr_i^<$, так как слои $b-\epsilon$ и $b+\epsilon$ не критические, то воспользуемся Алгоритмом 1 для их построения, применив его дважды: для области возможного движения $\Omega_{b-\epsilon}$ с зафиксированным дополнительным интегралом $\Lambda = b - \epsilon$ и для области возможного движения $\Omega_{b+\epsilon}$ с зафиксированным дополнительным интегралом $\Lambda = b + \epsilon$;

3. Теперь построим граф Gr_i^- . Воспользуемся модифицированным Алгоритмом 1 для дуги граничной гиперболы λ_i и биллиардов элементарного разбиения $\Sigma_1, \dots, \Sigma_N$: на шаге 1 дополнительно отметим белыми точками пересечения граничной дуги гиперболы λ_i с фокальной прямой.

Алгоритм 5.

1. Рассмотрим элементарный биллиард $\Sigma_j^>$ из разбиения $\Sigma_1^>, \dots, \Sigma_N^>$. Также рассмотрим положительные кольца S^1 2-атома V_j и построенные алгоритмом 3 графы $Gr_i^>$ и $Gr_i^>$. Здесь λ_i и λ_j суть границы элементарного биллиарда $\Sigma_j^>$. Поставим в соответствие каждому положительному кольцу S^1 по два цилиндра $S^1 \times I$ и обозначим их через $\Sigma_j^{R,>}$ и $\Sigma_j^{L,>}$. Применим алгоритм 2 к элементарному биллиарду $\Sigma_j^>$ и графам $Gr_i^>$ и $Gr_i^>$.
2. Аналогично применим алгоритм 2 для элементарного биллиарда $\Sigma_j^<$ и графам $Gr_i^<$ и $Gr_i^<$.
3. Разделим биллиард Ω , 2-атомы всех элементарных биллиардов Σ_j и все графы Gr_i^- на две части. Проведем фокальную прямую и разобьем биллиард Ω на два биллиарда: Ω^{top} и Ω^{bot} . Теперь рассмотрим все элементарные биллиарды Σ_j из разбиения $\Sigma_1, \dots, \Sigma_N$ и соответствующие им двумерные атомы V_j с графами K_j . Теперь разрежем граф K_j по вершинам и поставим биллиардам Ω^{top} и Ω^{bot} в соответствие получившиеся кольца K_j^{top} и K_j^{bot} (см. главу 6.1). Граф Gr_i^- мы также разрежем на два графа $GrTop_i^-$ и $GrBot_i^-$ по точкам (белым или черным), соответствующим точкам пересечения граничной дуги гиперболы λ_i с фокальной прямой.
4. Рассмотрим получившиеся в результате разреза графа 2-атома K_j кольца. Домножим эти кольца на отрезок и рассмотрим два экземпляра итогового произведения. Если на кольце лежала вершина графа K , то поставим на одном из ребер получившегося цилиндра букву $\lambda_{0,t}$, где индексом t соответственно пронумеруем участки фокальной прямой между дугами λ_i . Обозначим получившиеся цилиндры через

$$C_{1,j}^R, \dots, C_{\nu,j}^R, C_{\nu+1,j}^L, \dots, C_{2\nu,j}$$

Разделим получившиеся цилиндры на два класса — относящиеся к биллиарду Ω^{top} (такие пометим символом \circ) и на относящиеся к биллиарду Ω^{bot} (см. главу 6.1).

5. Теперь будем применять Алгоритм 2 по отдельности к биллиардам Ω^{top} и Ω^{bot} . А именно, при помощи Алгоритма 2 приклеим все графы $GrTop_i^-$ к тем цилиндрам, которые на предыдущем шаге были помечены волной. Аналогично приклеим остальные цилиндры к графам $GrBot_i^-$. Обозначим получившиеся в результате склейки комплексы U^{top} и U^{bot} соответственно: это суть 3-атомы биллиардов Ω^{top} и Ω^{bot} .
6. Теперь склеим U^{top} и U^{bot} по одинаковым буквам $\lambda_{0,t}$.

Доказательство. Рассмотрим однородно-гиперболический биллиард Ω и дополнительный интеграл $\Lambda \in [b - \varepsilon, b + \varepsilon]$.

Сначала убедимся, что Алгоритм 4 действительно строит двумерные подкомплексы T_i . Пусть точка $x \in \Omega$ гиперболы λ_i попадает в область возможного движения при некотором значении интеграла Λ близкого или равного b , тогда:

1. Если точка x не лежит на границе биллиарда Ω или на фокальной прямой, то в ней определены 4 вектора скорости, направленные либо по касательной к каустике ($\Lambda \neq b$), либо по траекториям, проходящим через фокусы ($\Lambda = b$). В алгоритме такая точка x лежит на отмеченном знаком « $-$ » сегменте;
2. Если точка x лежит на границе биллиарда Ω , то, в силу биллиардного закона, в такой точке определены только два вектора скорости. В алгоритме такая точка x лежит на отмеченном знаком « $+$ » сегменте;;
3. Если точка x лежит на фокальной прямой, то на уровне $\Lambda = b$ в ней определены только два вектора скорости, а на всех остальных уровнях дополнительного интеграла — 4. В алгоритме такие точки дополнительно отмечены белым;
4. Если точка x лежит в вершине прямого угла, то ей соответствует один вектор скорости, а если в вершине угла $3\pi/2$, то все пары (x, v) склеятся в Q^3 . В алгоритме такие точки дополнительно отмечены черным;
5. Если точка x границы биллиарда Ω лежит на каустике $\lambda = \alpha$, то в ней также будет определён лишь один вектор скорости, в силу закона отражения. Такие точки в алгоритме также отмечены черным;
6. Если точка внутренняя точка x биллиарда Ω лежит на каустике $\lambda = \alpha$, то в ней также будет определено два вектора скорости, в силу закона отражения. Такие точки в алгоритме также отмечены белым;

Рассмотрим прообраз дуги λ_i при фиксированном значении дополнительном интеграла $\Lambda = \alpha \in [b - \varepsilon, b + \varepsilon]$ и при фиксированном значении интеграла $\Lambda = \beta \in [b - \varepsilon, b + \varepsilon]$. Обозначим эти (одномерные) прообразы через Gr_β и Gr_α соответственно. Заметим, что структура Gr_β и Gr_α зависит только от области возможного движения при $\Lambda = \alpha$ и $\Lambda = \beta$, а она, в силу малости ε , зависит только от соотношений α, β и b . А именно, $Gr_\beta \cong Gr_\alpha$ в том и только том случае, если либо $\alpha < b$ и $\beta < b$, $\alpha = \beta = b$, либо $\alpha > b$ и $\beta > b$. В итоге, алгоритм 4 действительно строит графы $Gr_i^<$, $Gr_i^=$ и $Gr_i^>$, так как структура одномерных комплексов границ меняется только при переходе через критическое значение.

Теперь перейдём к доказательству второго утверждения теоремы 5: рассмотрим комплекс $A = U \setminus (T_1 \cup \dots \cup T_n)$. Зафиксируем некоторое значение интеграла $\Lambda = \alpha \in [b - \varepsilon, b + \varepsilon]$ и спроецируем комплекс A на биллиард Ω естественной проекцией π . В итоге получится несвязное объединение элементарных биллиардов $\Sigma_1, \dots, \Sigma_N$ без границ. Рассмотрим один из таких биллиардов Σ_j и введём биллиардный закон на его границах: это будет плоский элементарный биллиард, а потому в его прообразе при естественной проекции будет слой $\Lambda = \alpha$ одного из атомов. Тогда, варьируя α , мы получаем, что прообраз Σ_j при $\Lambda \in [b - \varepsilon, b + \varepsilon]$ и введённом биллиардном отражении на «вырезанных» границах, гомеоморфен 3-атому из списка теоремы 3, а точнее, гомеоморфен $V_j \times S^1$. Теперь уберем биллиардное отражение на границе элементарного биллиарда Σ_j : каждый слой V_j гомеоморфен прообразу оснащённой векторами скорости гиперболы, а значит, при убирации двух таких многообразия $V_j \times S^1$ разобьётся на два многообразия $V_j \times I$, что и требовалось доказать.

Перейдем к заключительному пункту теоремы 3. Докажем, что алгоритм 5 действительно корректно склеивает двумерные клетки T_i с трехмерными клетками $2(V_j \times I)$. Для всех слоев интеграла $\Lambda \neq b$ доказательство полностью аналогично доказательству теоремы 3, так как эти слои не являются особыми. Для построения особого слоя G атома U сначала разрежем биллиард Ω по фокальной прямой и, следуя алгоритму, рассмотрим биллиарды Ω^{top} и Ω^{bot} . Данные биллиарды не пересекаются с фокальной

прямой внутри области, а потому его можно разбить на элементарные бильярды вида $\Sigma_1 \cap \Omega^{top}, \dots, \Sigma_N \cap \Omega^{top}$ и $\Sigma_1 \cap \Omega^{bot}, \dots, \Sigma_N \cap \Omega^{bot}$ и любой элементарный бильярд $\Sigma_j \cap \Omega^{top}$ или $\Sigma_j \cap \Omega^{bot}$ будет бильярдом без особенности на уровне $\Lambda = b$ (иначе говоря, 3-атом гомеоморфен произведению тора на отрезок). Способ приклейки таких бильярдов к графам $Gr_i^>$, Gr_i^- или $Gr_i^<$ опять же аналогичен теореме 3. Дополнительно в Алгоритме 4 помечаются ребра, по которым производился разрез 2-атомов: именно склейка по ним отвечает склейки по фокальной прямой на уровне атомов. □

Замечание 7. Из доказательства теоремы 5 следует, что если бильярд Ω не содержит сегментов фокальной прямой внутри или на границе области, то в таком бильярде $U \cong G_2^k \times I$, где G_2^k — 2-поверхность рода k , где k — сложность бильярда. Так как в таком случае Алгоритм 3 и Алгоритм 5 в точности повторяют Алгоритмы 1 и 2 для не седловых слоев.

Замечание 8. Из теоремы 5 следует, что особый слой невыпуклого бильярда U склеивается из особых слоев выпуклых бильярдов Σ_j , входящих в его разбиение. Однако, если выбрать разбиение бильярда Ω каким-либо другим способом (например, разрезать по всем квадратам на которых лежат особые точки), то это разбиение поднимется до другого разбиения комплекса U на клетки. Например, бильярд, изображенный на рисунке 20 разбивался на 2 элементарных бильярда типа A_0 , однако, его можно разбить на 3 элементарных бильярда: 2 типа A_0 и на один элементарный бильярд типа B_0 , проведя эллипс, на котором лежит особая точка. Это приводит к невозможности описания топологии атома U только через описание двумерных клеток этого комплекса.

8 Заключение.

Предметом анализа данной работы были невыпуклые плоские бильярды, а именно, исследовалась топология слоения Лиувилля для многообразия Q^3 в таких бильярдах. В ходе работы невыпуклый бильярд был сначала разбит на элементарные бильярды (без углов $3\pi/2$), а потом полученное разбиение было «поднято» на уровень Q^3 . В теоремах 4 и 5 было представлено полное алгоритмическое описание топологии окрестности особого слоя критических значений дополнительного интеграла. Теорема 3 описывает окрестности особых слоев $\Lambda = \lambda_i$, а Теорема 5 — топологию окрестности особого слоя $\Lambda = b$. Отметим, что ранее описание окрестностей критических значений не встречалось в других работах по данной тематике.

Результаты, полученные в данной работе, докладывались на международных конференциях (Ломоносов 2019, Ломоносов 2020, Воронежская Зимняя математическая школа С.Г. Крейна, Equadiff-2019, GDIS 2018, CIS 2018) и научно-исследовательском семинаре «Современные геометрические методы» под руководством акад. А. Т. Фоменко, проф. А. С. Мищенко, проф. А. В. Болсинова, проф. А. А. Ошемкова, проф. Е. А. Кудрявцевой, доц. И. М. Никонова, доц. А.Ю. Коняева, асс. В. В. Ведюшкиной (механико-математический факультет МГУ имени М. В. Ломоносова).

9 Список литературы.

1. Табачников С. Л. Геометрия и бильярды. М.; Ижевск: НИЦ «РХД», 2011.
2. Болсинов А.В., Фоменко А.Т. Интегрируемые гамильтоновы системы. Геометрия, топология, классификация. Т. 1. Ижевск: НИЦ «РХД», 1999.

3. Козлов В. В. Некоторые интегрируемые обобщения задачи Якоби о геодезических на эллипсоиде // Прикладная математика и механика, том 59, вып. 1, 1995.
4. Фокичева В. В. Топологическая классификация бильярдов в локально плоских областях, ограниченных дугами софокусных квадрик // Матем. сб. 2015. **206**, №10. 127–176.
5. Фокичева В.В., Фоменко А.Т. Интегрируемые бильярды моделируют важные интегрируемые случаи динамики твердого тела // Докл. РАН. Сер. матем. 2015. **465**, №2. 150–153. (Integrable Billiards Model Important Integrable Cases of Rigid Body Dynamics // Doklady Mathematics. 2015. **92**, N 3. 1–3. Pleiades Publishing, Ltd., 2015).
6. Ведошкина В.В., Фоменко А.Т. Интегрируемые топологические бильярды и эквивалентные динамические системы // Изв. РАН. Сер. матем. 2017. **81**, №4. 20–67.
7. Fokicheva V., Fomenko T. Billiard Systems as the Models for the Rigid Body Dynamics // Studies in Systems, Decision and Control. Advances in Dynamical Systems and Control. Vol.69. Ed. by V. Sadovnichiy, M. Zgurovsky. Springer; International Publishing Switzerland, 2016. 13–32.
8. Dragovic V., Radnovic M. Bifurcations of Liouville tori in elliptical billiards // Regular Chaotic Dyn. РАН. 2009. **14**. 479–494.
9. Драгович В., Раднович М. Интегрируемые бильярды, квадрики и многомерные поризмы Понселе. М.; Ижевск: НИЦ “РХД”, 2010.
10. Dragovic V., Radnovic M. Pseudo-integrable billiards and arithmetic dynamics // Modern Dynamics. 2014. **8**, N1, 109–132.
11. Dragovic V., Radnovic M. Pseudo-integrable billiards and double-reflection nets // Russ. Math. Surveys. 2015. **70**, N1, 1–31.
12. Dragovic V., Radnovic M. Periods of pseudo-integrable billiards // Arnold Math. 2015. **1**, N1. 69–73.
13. Bolsinov A.V., Fomenko A.T., Oshemkov A.A. Topological Methods in the Theory of Integrable Hamiltonian. Cambridge: Cambridge Scientific Publishers, 2006.
14. Кудрявцева Е.А., Никонов И.М., Фоменко А.Т. Максимально симметричные клеточные разбиения поверхностей и их накрытия // Матем. сб. 2008. **199**, №9. 3–96.
15. Кудрявцева Е.А., Никонов И.М., Фоменко А.Т. Симметричные и неприводимые абстрактные многогранники // Современные проблемы математики и механики. Т. 3. Математика. Вып. 2. Геометрия и топология // Изд-во ЦПИ при мех.-мат. ф-те МГУ, 2009. 58–97.
16. Кудрявцева Е.А., Фоменко А.Т. Группы симметрий правильных функций Морса на поверхностях // Докл. РАН. Сер. матем. 2012. **446**, №6. 615–617.
17. Кудрявцева Е.А., Фоменко А.Т. Любая конечная группа является группой симметрий некоторой карты (“атома”- бифуркации) // Вестн. Моск.ун-та. Матем. Механ. 2013. №3. 21–29.
18. Кудрявцева Е.А. Аналог теоремы Лиувилля для интегрируемых гамильтоновых систем с неполными потоками // Докл. РАН. 2012. **445**, №4. 383–385.

19. Москвин В.А. Топология слоений Лиувилля интегрируемого бильярда в невыпуклых областях// Вестник МГУ, 2018, **3**. 21 — 29.
20. Москвин В.А. Алгоритмическое построение двумерных особых слоев атомов бильярдов в невыпуклых областях// Вестник МГУ, 2020, **3**, 3 — 12.